

МИНИСТЕРСТВО ГЕОЛОГИИ СССР
МИНИСТЕРСТВО ГЕОЛОГИИ РСФСР
КРАСНОЯРСКОЕ ТЕРРИТОРИАЛЬНОЕ ГЕОЛОГИЧЕСКОЕ УПРАВЛЕНИЕ

Уч. № 0128

Экз № 178

ГЕОЛОГИЧЕСКАЯ КАРТА СССР

МАСШТАБА 1:200 000

СЕРИЯ ЗАПАДНО-СЯНСКАЯ

Лист М-46-ХVII

Объяснительная записка

Составители: *В.А. Мегкин, В.М. Нежович*
Редактор *Г.П. Александров*

Утверждено филиалом Научно-редакционного совета ВСЕГЕИ при
СНИИГТИМС 6 марта 1964 г., протокол № 3

МОСКВА 1975

ВВЕДЕНИЕ

Территория листа М-46-ХУП располагается в юго-восточной части Тувинской АССР, по административному делению относится к Тес-Хемскому району и ограничена координатами $94^{\circ}00' - 95^{\circ}00'$ с.ш., $50^{\circ}00' - 50^{\circ}40'$ в.д. Большая часть территории района относится к восточной окраине Усундурской котловины. В центральной и северо-восточной части территории располагаются южные отроги хребта восточного Тянну-Ола, характеризующиеся значительной расчлененностью. Основной орографической единицей в районе является хр. Агар-Дат-Тайга, простирающийся в северо-восточном направлении. Склоны хребта расчленены узкими глубокоэрозивными сухими долинами. Абсолютные высоты достигают 1600 м, относительные превышения колеблются в пределах 200-600 м.

Гидрографическая сеть района принадлежит к бассейнам рек Тес-Хем и Нарин-Тол. Реки, стекающие с южных склонов хр. Восточного Тянну-Ола, такие как Таректиг-Хем, Шивелит-Хем, Аырдыг-Хем, не несут своих вод до р. Тес-Хем, теряясь в наносах. Р. Тес-Хем находится в стадии зрелости, имеет хорошо развитую долину с широко развитыми террасами по левому борту. Русло реки сильно меандрирует, пойма заболочена. Р. Нарин-Тол характеризуется небольшими дебитом, спокойным течением и значительной заболоченностью долины. В районе имеются два турькосоденных озера Шира-Нур и Аус-Холь.

Климат района резко континентальный. Среднегодовая температура ниже нуля - $4,3^{\circ}$. Летний максимум 40° , зимний минимум минус 55° . Годовая сумма осадков около 150 мм.

Район практически не исследован. Древесная растительность приурочена к долине рек.

На площади листа имеется несколько населенных пунктов — поселки: Берг-Дат, Чоодура, Ак-Эрик и Шара-Сур. Все части района, кроме заболоченных участков и хребтов, доступны для автотранспорта и связаны дорогами с районным центром пос. Самгалатай.

К первому этапу геологического изучения юга и юго-востока Тувы относятся работы В.А. Кузнецова (1946), А.П. Божинского (1945), А.И. Девяко, З.В. Мусиенко (1947), И.И. Водостокского и В.В. Архангельской (1948). Данные этих исследователей были использованы при составлении свода геологической карты Тувы масштаба 1:100 000 (Докин, Кудрявцев, 1951). Этими работами была намечена общая схема стратиграфического расчленения древних толщ нагорья Сангилен. Отложения кембрия на площади листа отнесены В.А. Кузнецовым (1946) к таннуольской свите. Им же выделена терригенно-осадочная толща Сигура-Давона, Ингуэзии, развитая в хр. Восточного Танну-Ола, В.А. Кузнецовым объединены в таннуольский (сангарский) и тальбесский комплексы.

В 1950г. в северной части площади листа В.И. Серпуховым и П.В. Коросичным (1950г) проведены поисково-съемочные работы масштаба 1:200 000. Им были выделены таннуольская свита нижнего кембрия и верхнесилурийские отложения с остатками брахиопод, кораллов и трилобитов. К давоновским отложениям эти авторы отнесли эффузивные и пирокластические образования, развитые в районе Гурьсаитын и по долине р. Тьгыр-Хем.

В 1953г. в северной части района поисково-съемочные работы масштаба 1:200 000 были продолжены геологами МАГП А.В. Ильиным и В.М. Мордачевым (1954г). Они расчленили нижнекембрийские отложения на три свиты: кукукунгускую, таннуольскую и холдэжинскую. К последней им или условно были отнесены эффузивно-пирокластические образования Давона.

В 1955г. в центральной и южной частях района проводились геологические работы масштаба 1:200 000 под руководством Ф.И. Розенблит (1957г). В результате этих работ были составлены схема геосин заделания поверхности фундамента (по данным эвактрозонирования) и геологогеологическая карта масштаба 1:200 000. Метаривалы этих работ использованы при написании главы "Геологогеология".

В 1958г. В.М. Немцовичем для большей части листа М-46-ХУП составлена схематическая геологическая карта масштаба 1:200 000 (Борисов, Немцович, 1959г), на которой в юго-восточной части района впервые выделены протерозойские отложения.

В 1958г. Северной экспедицией составлена карта магнитного поля масштаба 1:100 000 для всей площади листа. В 1959г. для большей части площади (исключая пограничную часть) Горно-Алтайской партией Завидного геологического треста составлена карта магнитного поля масштаба 1:200 000.

В 1959г. Д.П. Авазурдяном (1960г) изучались четвертичные отложения с целью обнаружения в них россыпных месторождений глиняная и циркония. Для этих отложений автором дана отрицательная оценка.

В производстве геолого-съемочных работ на территории листа М-46-ХУП приняли участие: В.А. Меткин и В.М. Немцович (1961-1962гг), М.С. Гуднев и Г.Г. Сутникова (1962г.). Исполнители имели на вою площадь работ хорошо выполненную топографическую карту Генштаба Советской Армии в масштабе 1:100 000 и фото-контактную печать в масштабе 1:32 000. На контактной печати хорошо детализируются основные тектонические нарушения и складчатые структуры Сигура и Давона. Геолого-съемочные работы сопровождались попутными поисками и шиховым опробованием. Последним охвачены все типы рыхлых отложений.

В основу составленных государственной геологической карты и карты полезных ископаемых положены материалы исследований авторов (Меткин, Немцович, 1962г, 1963г) и данные предыдущих исследований. При составлении объяснительной записки главы "Ингуэзивные образования", "Тектоника", "Полезные ископаемые" и раздел "Верхний протерозой" написаны В.М. Немцовичем, остальные главы записки написаны В.А. Меткиным.

СТРАТИГРАФИЯ

На территории листа развиты отложения среднего протерозоя, нижнего кембрия, Сигура, Давона, неогена и четвертичного периода. Верхнепротерозойские гнейсы, кристаллические сланцы и мраморы отнесены к Ингуэзской свите. Среди нижнекембрийских отложений по литолого-стратиграфическим признакам выделяются шурмакская, кукукунгуская и серликовская свиты. Силурийские отложения по литолого-стратиграфическим признакам и ископаемым остаткам отнесены к верхнекембрийской пражанке и ископаемым остаткам отнесены к верхнекембрийской черлакской свите и к холдэжинской свите. Среди давоновских отложений выделяется самгалатейская свита. Кызилбугайская серия и отложения Верхнего утлава. Широко развитые неогеновые отложения по имени их в них ископаемым остаткам отнесены к верхнекему отладу.

ВЕРХНИЙ ПРОТЕРЗОИ

М у г у р с к а я с в и т а (Р₂т₂) подзывается неизвестными распространением в юго-восточной части района, где она обнажается на отдельных участках среди широкого поля развития интрузивных образований тангульского и слухольского комплексов. В пределах района породы свиты повсеместно сочленяются с образующими нижнего камбрия по диагностическим нарушениями. На соседних к востоку площадях (Ильин, Мордвев, 1957) мугурская свита перекрывает гнейсы и мигматиты гесхемской свиты, образуя совместно с ней нижнюю твердую серию. Последняя согласно перекрывается карбонатной серией, верхи которой, вероятно, имеют верхнепротерозойский возраст. В составе мугурской свиты принимают участие породы разнообразного состава. Преобладают биокристаллические и гранат-биотитовые гнейсы и кристаллические сланцы, широко развиты амфиболиты, амфиболитовые сланцы, мраморизованные известняки и кварциты. Реже встречаются углисто-графитовые, графитовые, кордиерит-диастеновые и кордиерит-андальзитовые сланцы.

Отложения мугурской свиты обуславливают сравнительно однородное магнитное поле со значениями T минус 1-2 мв. Аэромагнитная аномалия ЮВ оз. Дус-Холь интенсивностью 1000-1500 гамм, возможно, связана с железистыми кварцитами. Общая вскрытая мощность мугурской свиты в районе оценивается в 1200 м.

КЕМБРИЙСКАЯ СИСТЕМА

Н и ж н и й о т д е л

Ш у р м а к с к а я с в и т а (См₁^{1/2}) известна к востоку от хр. Агар-Даг-Тейга в районе гор Куйлуг-Шат, где она по наружным сопоставлениям с мугурской свитой и с кускундуской толщей нижнего камбрия. Шурмакская свита представляется конгломератами и траваелитами. Разрез отложений свиты в районе гор Куйлуг-Шат представляется в следующем виде (снизу):

1. Конгломераты вадульные, вадуны размером до 50-60 см, состоящие из белых массивных кварцитов и режа. Известняков. Цементирующей массой являются зеленые раскисленные и вадульные конгломераты того же состава..... 250-300 м
2. Конгломераты крупнопластовые и вадульные. Гальки до 10-40 см в поперечнике составляют в породе 60-70%.

1071

- В их составе присутствуют плагиоклазиты, мусковитовые граниты, кварцсодержащие диориты, метаморфические сланцы, мраморы, кварциты. Цементирующей массой являются зеленые крупнозернистые песчаники и траваелиты..... 340 м
3. Конгломераты мелкопластовые и среднепластовые полимиктовые, содержащие до 25-30% гальки. Цементирующей массой являются зеленые песчаники и траваелиты..... 320 м
 4. Траваелиты раскисленные зеленые и мелкопластовые конгломераты с "плаважской" галькой. Галька представлена преимущественно кварцитами и известняками породами..... 180 м

Мощность свиты в разрезе 1090-1140 м.

На соседней к востоку площади в составе свиты, кроме конгломератов, присутствуют линзы известняков, различные по составу сланцы, спилиты. П.В. Роддугина (1962г.) в том же районе шурмакской свиты обнаруживает синклиналию складку, ядро которой выложено кварцитами и сланцами выходящими кускундуской толщей. По положению в разрезе свиты отнесена к нижнекембрийскому возрасту.

Общая мощность шурмакской свиты в районе 990-1140 м.

К у с к у н д у с к а я т о л щ а (См₁^{1/2}) развита в районе гор Хайракан, оз. Дус-Холь и хр. Агар-Даг-Тейга, где она по диагностическим нарушениям сопоставляется с верхнепротерозойскими образующими мугурской свиты и нижнекембрийскими отложениями шурмакской свиты. В районе гор Агар-Даг кускундуская толща согласно перекрывается нижнекембрийскими отложениями сергилской свиты. Упругие отложения прорваны многочисленными интрузивными актоверско-кото и тангульско-го комплексов. Отложения кускундуской толщи представлены различными по составу сланцами, филитами, кварцитами, диавозовыми порфиритами, спилитами, известняками, туфотраваелитами, порфиритами, порфиритоидами и сланцами по спилитам. Нижняя граница толщи неизвестна, верхняя проводится по подолу пачки диловых и зеленых брекчий сергилской свиты. Наиболее полный разрез толщи составлен по правому берегу р. Тес-Хамая в восточной границе района, где наблюдается следующая последовательность (снизу):

1. Микрокварциты серые с лиловым оттенком полусухатые 15 м
2. Эффузивы амфиболитизированные зеленокаменные с реликтами порфиритового строения, редкие простои кварцево-хлоритовые сланцев и подосчатых микрокварцитов 167 м
3. Известняки темно-серые и серые слоистые и брекчиевидные, окварцованные 80 м
4. Филиты темно-серые и черные переслаивающиеся с черными кремнистыми сланцами 134 м

5. Кварциты темно-серые и серые с горизонтами массивных зеленокаменных пород	57 м
6. Филиты темно-серые и зелено-серые, кремнистые сланцы чередующиеся с серыми массивными кварцитами, порфиритами карбонатизированных диабазов и прослоями известняков	146 "
7. Порфириты темно-серые дибазовые с горизонтом серых известняков	29 "
8. Микрокварциты и кварциты серые массивные	73 "
9. Филиты серые и кремнистые сланцы, содержащие покров расчленованных эффузивов и маломощные линзы известняков	90 "
10. Переоформленные филитов, кварцитов и зеленокаменных дибазовых порфиритов	128 "
11. Филиты темно-серые и зеленоватые-серые	66 "
12. Диабазы, сланцы, зеленокаменноизмененные породы	71 "
13. Филиты и кремнистые сланцы, содержащие прослойки кварцитов и микрокварцитов	124 "
14. Гудфиты и туфогравелиты зеленоватого-серые	32 "
15. Кварциты массивные переоформившиеся с маломощными горизонтами филитов	78 "
16. Порфириты базальтовые амфиболитизированные и миндалефиты	72 "
17. Филиты, переоформившиеся с кремнистыми сланцами	57 "
18. Дибазовые порфириты и спилиты серо-зеленые чередующиеся с маломощными горизонтами подосчатых кварцитов	156 "

Мощность толщи в разрезе 1575 м.

Состав кукунугутской толщи характеризуется некоторой изменчивостью. К северу от оз. Дус-Холь и по северным склонам хр. Агар-Дат-Тайга толща сложена различными по составу метаморфическими сланцами, порфиритами, порфиритоидами и расчленованными спилитами с подчиненным количеством кварцитов. К югу от озера и по южным склонам хр. Агар-Дат-Тайга толща представлена преимущественно кварцитами и окруженными известняками с подчиненным количеством сланцев и расчленованных эффузивов.

Нижекомбрийский возраст толщи устанавливается по положению ее в разрезе ниже фаунистически охарактеризованной серпигской свиты.

С е р п и г с к а я с в и т а (См. рис. 1) в виде полосы шириной до 10 км протягивается вдоль северо-западного склона хр. Агар-Дат-Тайга по левобережью р. Ужарлыг-Хэм. Наибольшими участками серпигская свита обнажается также в районе г. Кызыл-Ош и севернее пос. Берг-Дат. Серпигская свита согласно залегает на сланцах и кварцитах кукунугутской толщи (район г. Кызыл-Ош) перекрывается севернее пос. Берг-Дат силурийскими и девонскими отложениями. Свита прорвана многочисленными интрузивными актоверакского, тангульского и охотольского комплексов. Серпигская свита представлена брекчиями, известняками, песчаниками, алявролитами, сланцами, эффузивами среднего и кислого состава. Нижняя граница свиты прородится по пологому пачки лиловых и зеленых брекчий, верхняя её граница в районе не известна. Наиболее полный разрез составлен по правому берегу р. Гус-Хэме восточнее устья р. Ужарлыг-Хэме (снизу):

1. Переоформленные лиловых и зеленых брекчий	59 м
2. Лиловые брекчий	151 "
3. Переоформленные лиловых и зеленых крупнозернистых песчаников	43 "
4. Песчаники зеленые крупнозернистые	87 "
5. Песчаники мелкозернистые и алявролиты	47 "
6. Известняки серые плотные внизу с пластом ожелезненных известняков	196 "
7. Песчаники известковистые, известняки, песчанистые известняки	143 "
8. Алявролиты известковистые и песчанистые известняки	100 "
9. Песчаники известковистые, известняки, песчанистые известняки	186 "
10. Сланцы известковистые и расчленованные известняки	25 "
11. Известняки дробленые и расчленованные	41 "
12. Эффузивы среднего состава	20 "
13. Известняки серые расчленованные	21 "
14. Порфириты платмоглазовые	34 "
15. Известняки бадне	21 "
16. Известняки коричнево-бадне	35 "
17. Сланцы известковистые и кремнисто-известковистые подосчатые	48 "
18. Известняки мраморизованные и слабо песчанистые, местами пиритизированные	184 "
19. Сланцы известковистые и известняки	30 "
20. Алявролиты подосчатые известковистые	32 "

21. Эффузивы	10 м
22. Сланцы известковистые с прослоями песчанистых известняков	126 "
23. Известняки коричнево-серые	25 "
24. Сланцы известковистые	10 "
25. Известняки с прослоями сланцев и маломощными породами эффузивов	165 "
26. Сланцы известковистые с прослоями песчанистых известняков	75 "
27. Известняки мраморизованные и песчанистые с прослоями сланцев	120 "
28. Сланцы известковистые	16 "

Мощность свиты в разрезе составляет 1900 м.

Состав серлитской свиты на левобережье р. Тес-Хема несколько меняется. В районе г. Кара-Шат мраморизованные известняки и известковистые сланцы в верхах вышлепывающего разреза подстилаются породами темно-серых кварцевых порфиров и плагноклазовых порфиров. Порекреты известняки эффузивами кислого и среднего состава с редкими породами дибазовых порфиров, прослоями известняков и туфов. Серлитская свита восточнее ур. Бурза представлена в основном ороговидными эффузивами с редкими породами кварцевых порфиров и прослоями мраморизованных известняков. В последних найдены археоциты плохой сохранности. Западнее г. Ахир-Уда для серлитской свиты характерны кремнисто-актинолитовые и кремнистые сланцы, кварцевые порфиры и порфириты. В районе г. Кызыл-Ош свита представлена литовыми крупно- и среднезернистыми песчаниками, мраморизованными известняками, сланцами по эффузивам порфиритовидными, альбитовыми. Севернее пос. Барт-Дат свита складывается литовыми и зелеными эффузивами среднего состава и их туфами.

Сравнивая состав серлитской свиты в исследованном районе с разрезом, представленном в Восточном Тану-Ола, видно, что здесь увеличивается количество осадочных образований и заметно уменьшается роль кислых эффузивов.

В известняках и сланцах серлитской свиты по правому берегу р. Тес-Хема найдены остатки трилобитов, брахиопод и археоцитат. Н.П. Суворовой из трилобитов определены: *Aloktivossoridie bery.sp.*, *Coelocenia sp.*, *Nebedavcus sp.*, *Soleporleutella sp.*, *Judaella sp.* По заключению Н.П. Суворовой, в коллекциях преобладают формы семейства *Aloktivossoridae* на семейство *Rynchonellidae*, распространенные в нижней части среднего кембрия. Другие формы трилобитов, присутствующие в небольших количествах, говорят о более древ-

102

нем возрасте. Так *Nebedavcus* (семейство *Rynchonellidae*) встречается обычно в нижнем кембрии, *Judaella* (род близкий *Rynchonellidae* в низях ланского яруса, *Soleporleutella* в Сибири встречается в середине и верхах ланского яруса, в Америке - в среднем кембрии; род *Coelocenia* встречается по всему нижнему кембрию и в низях среднего кембрия. Предположительно вышеназванные отложения можно отнести к низям ланского яруса. Оценя мощность свиты около 300 м. В целом нижнекембрийские образования обуславливают перемещение магнитного поля с преобладающим отрицательным значением ΔT (I-2мэ), сменившихся положительными значениями в участках ороговидных (I-3мэ.).

СИГУРИЙСКАЯ СИСТЕМА

Сигурийские отложения на площади дисета имеют весьма ограниченное распространение и встречаются лишь на северо-востоке, где по литологическому признаку и по ископаемой фауне выделяются чертакская и хондергейская свиты.

Н и ж н и й - в е р х н и й о т д е л

Ч е р т а к с к а я с в и т а *Верхняя подсистема* ($S_1-2^{st}Z$) в отличие от районов Центральной и Западной Тувы представлена лишь верхней подсистемой, известна восточнее пос. Барт-Дат, где она несомненно залегает на нижнекембрийских образованных серлитской свитой и согласно с постепенным переходом перекрывается верхнекембрийскими образованными хондергейской свитой. Разрез подвиги начинается с пачки литовых алезролитов и песчаников мощностью 200 м. Выше залегает серо-зеленые песчаники, кварцевые граувакиты и алезролиты с прослоями органических известняков. Мощность пачки 250 м. Завершается разрез литово-серыми и белыми кварцевыми песчаниками и граувакитами с прослоями зеленовато-серых органических известняков. Мощность пачки 80 м. В органических известняках собраны остатки брахиопод: *Lucella raskovskii* Tchern., *Samarotoecia sp.*, *Palaeolani Tchern.*, которые по заключению Е.В. Владимировой, позволяют выдвинуть их отложения отчасти к верхней подсистеме чертакской свиты. Общая мощность подвиги составляет 530 м.

В е р х н и й о т д е л

Х о н д е р г е й с к а я с в и т а ($S_2^{st}H$) наибольшим распространением пользуется в районе севернее ур. Сук-Бажу, где она

задевает в ядерной части синклиналиной структуры. На этом участке хондрийская свита согласно задевает на отложенных верхней подосвете чарьякской свиты и несогласно перекрывается отложенными верхнего девона. По правому берегу Берт-Кара-Суг свита сокрытым несогласием перекрывается нижнедевонскими отложениями.

На соседней к востоку площади отложения хондрийской свиты отнесены А.В. Ильиным (1954ф) к нижней части самаргатайской свиты нижнего девона. В 1957г. Е.В. Владимирская и Н.Н. Предтеченский расчленили последние на две свиты: хондрийскую и самаргатайскую.

Нижняя граница хондрийской свиты проводится условно по средне сероцветных отложений красноцветными. За верхнюю границу свиты принята подосва пачки бурых песчанников, содержащих прослой серых известняков с обильными остатками лингид, остракод и чешуи рыб. Преобладающими породами в составе хондрийской свиты являются

лиловые песчанники. Наиболее полный разрез свиты представлен в междуречьях Теректиг-Хема и Берт-Кара-Суга, где наблюдается следующая последовательность (снизу):

1. Пестроцветная пачка, представляющая переслаиванием красных, серых и зелено-серых крупнозернистых песчанников 20 м
 2. Песчанники и гравелисты лиловые и лилово-серые пятнистые 60 "
 3. Песчанники разнозернистые лиловые и лилово-серые пятнистые с прослоями лиловых, сильно рассланцованных алевролитов 300 "
 4. Песчанники лилово-серые с включениями гальки темно-лиловых алевролитов 150 "
 5. Песчанники подмиктовые серые мелкозернистые и серо-зеленые среднезернистые с прослоями серых известняков 20 "
 6. Песчанники сурручно-лиловые мелкозернистые с прослоями лилово-серых разностей, лиловых и зеленоватых граувицитов и крупнозернистых песчанников 50 "
 7. Песчанники серо-лиловые и темно-лиловые с прослоями сурручно-лиловых алевролитов, серых гравелистых известняков и зеленоватых крупнозернистых песчанников с включениями известковистых жалаков 140 "
- Мощность свиты в разрезе составляет 740м.
- Отложения хондрийской свиты характеризуются резкой фациальной невыдержанностью по простиранию. Это проявляется в выклинивании с запада на восток нижней пестроцветной пачки, известняков и пестроцветных песчанников средней части разреза. В результате у восточной границы района свиты сложена лиловыми алевролитами и

песчанниками, её мощность сокращается до 285м. Возраст свиты определается, по положению в разрезе, как верхнесилурийский.

ДЕВОНСКАЯ СИСТЕМА

Нижний отдел

Самая типичная свита (D₁^м) ориентировочно распространена в с.-в. части района к северу от ур. Суг-Бажу и по левобережью р. Тылг-Хема.

Стратиграфическое положение самаргатайской свиты определяется согласным наложением её на отложенных хондрийской свиты верхнего силура. Среди пород свиты преобладают песчанники. Наиболее полный разрез её обнаруживается по левому берегу Берт-Кара-Суг (снизу):

1. Песчанники лиловые известковистые с прослоями глинистых известняков 19 м
 2. Гравелисты лиловые пятнистые 2 "
 3. Песчанники лиловые пятнистые мелкозернистые 36 "
 4. Песчанники грубозернистые лиловые 8 "
 5. Песчанники разнозернистые лиловые с включениями лиловой гальки алевролитов 61 "
 6. Песчанники кварцевые грубозернистые лиловые с редкой галькой алевролитов 25 "
 7. Песчанники мелко- и среднезернистые лиловые 60 "
 8. Песчанники известковистые розовато-лиловые пятнистые с прослоями лиловых грубозернистых песчанников 54 "
 9. Песчанники разнозернистые розовые пятнистые рыхлые 103 "
 10. Песчанники среднезернистые розовые пятнистые с прослоями грубозернистых разновидностей 45 "
 11. Песчанники розовые и розовато-лиловые. Внизу иверху пачки содержатся два покрова мощностью по 2м клоних эффузивов лилового цвета 52 "
 12. Песчанники лиловые пятнистые 30 "
- Мощность свиты по разрезу 495м.
- В тонких прослоях глинистых известняков низов разреза имеются остатки рыб и остракод, впервые обнаруженные в 1946г. В.П. Масловым. По заключению Д.В. Обручева, присутствие остатков Серпиде и Нетеговетасеа позволяет отнести эмбрионы отложения к нижнему девону.

Н и ж н и и - с р е д н и и о т д е л и

Кызылбулакская серия в районе сложена различными по составу эффузивно-пирокластическими образованиями, встречается в с.-в. части района. Почти повсеместно кызылбулакская серия в пределах территории листа имеет тектонические взаимоотношения с подстилающими отложениями нижнего кембрия и силура. На левобережье р. Тытыл-Хэма свита с базальными конгломератами в основании несогласно залегает на отложениях верхней подсистемы чертакской свиты. На соседней к востоку площади кызылбулакская серия, равная шлобочно-огневая свита к холмешинской свите нижнего кембрия (Ильин, Морзлев, 1957), со стратегическим несогласием перекрывается отложениями верхнего девона. Описываемые отложения в районе проявляются интрузивными структурами Хольского комплекса.

Кызылбулакская серия в районе сложена различными по составу эффузивами и туфами. По левому берегу р. Тытыл-Хэма разрез серии начинается с мощного горизонта базальных брекчий и конгломератов, состоящих из угловатых обломков липовых средне- и мелкозернистых песчанников и алавролитов, сцементированных светлого-серым и розовато-серым существенно кварцевым песчанником. Размер обломочного материала колеблется от 1-3 до 5-6 см. В верхах пачки наблюдается постепенный переход от брекчий к крупногалечным конгломератам. Последняя содержит прослойки гравелистов и грубозернистых полимиктовых песчанников. Мощность пачки около 40 м.

Эта пачка выше перекрывается филитовыми, сургуучными, липово-серыми, серыми и зелено-серыми эффузивами и их туфами. В составе пород присутствуют дацитовые порфиры, альбитофиры, фельзитовые порфиры, диabasовые и базальтовые порфиры, миндалефиры, туфы кислых эффузивов. Мощность эффузивной пачки около 800 м.

Общая мощность отложений кызылбулакской серии около 1200 м. Нижне-среднедевонский возраст серии определяется по подложному ее в разрезе.

В е р х н и и о т д е л (D₃)

К среднедевонским отложениям на территории описываемого района условно отнесена толща терригенных пород, развитых по левобережью р. Тытыл-Хэма, и в районе пос. Бэрт-Дат. Верхнедевонские отложения трансгрессивно перекрывают отложения верхней подсистемы чертакской свиты и холмешинской свиты (район пос. Бэрт-Дат) и с шириной согласия ложатся на среднедевонские отложения самаргалтайс-

кой свиты. Описываемые отложения представлены в основном песчаниками и конгломератами. Разрез их в районе пос. Бэрт-Дат представляется в следующем виде (снизу):

1. Конгломераты серые от мелко- до валунистогалечных с гравийно-песчанистым цементом ржавого цвета. В составе гальки: кварц, кремнистые породы, микрокварциты, зелено-серые и липовые эффузивы, песчаники, граниты, гранодиориты, гранит-порфиры 130 м
 2. Песчаники серо-зеленые крупнозернистые полимиктовые переставившиеся с гравелитами и мелкогалечными конгломератами 195 м
 3. Песчаники серые крупнозернистые полимиктовые плитчатые с включениями "плавающей" гальки липовых и зеленых алавролитов 30 м
 4. Песчаники темно-серые с прослоями гравелистов и мелкогалечных конгломератов 30 м
 5. Песчаники серые и розоватые гравелиты и мелкогалечные конгломераты с прослоями (1-2 м) серых известняков 120 м
- Общая мощность отложений верхнего девона составляет 505 м.

По левому берегу р. Тытыл-Хэма верхнедевонские отложения представлены разнообразными по составу, окраске и зернистости песчаниками с редкими прослоями серых афанитовых известняков.

Характерной особенностью верхнедевонских конгломератов является то, что в их составе содержится гальки разнообразных эффузивных и интрузивных пород, сходных соответственно с эффузивами кызылбулакской серии и интрузивными гранитоидов Хольского комплекса. Возраст описываемых отложений определяется на основании сопоставления их с литологически сходными породами верхнего девона Балгавинской шхалды Центральной Тувы. В последних А.М. Данилявич обнаружены споры, определенные Е.М. Андреевой как верхнедевонские нижнекаменноугольные (Ильин, Морзлев, 1957).

Силурийские и девонские осадочные отложения характеризуются устойчивым стратиграфическим полом со значительными дТ от 1 до 3 мв. Эффузивные образования кызылбулакской серии обуславливают перемещенное магнитное поле с дТ от минуса 2 до 2 мв.

НЕОГЕНОВАЯ СИСТЕМА

П л и н е н (№ 2)

Неогеновые отложения в районе используются широким распространением. Их выходы известны: по правому берегу р. Ужарлыг-Хэма в районе оз. Дус-Холя на северном склоне хр. Агар-Дат-Тайга и на юге в урочищах Бурээ и Орта-Кангой. На правом берегу р. Тес-Хэма и левом берегу р. Хырашлыг-Хэма красные, буровато-красные глины и суглинки верхнего неогена встречены скважинами под четвертичными отложениями на глубинах 40-50м, севернее хр. Агар-Дат-Тайга - на глубине от 0 до 30м и в районе Чагей-Сумона - на глубине 9м.

Разрез верхнеогенowych отложений, залегавших на склонах куру-кунгурской толщи (в 2,5км к югу от г. Кызыл-Ош), представлен в следующем последовательности (снизу):

1. Конгломераты несортированные с известковистыми обильными цементом. Только преимущественно представленные сильно измененными ультраосновными породами, расщепленными эффузивами, кварцитами, известняками и хлоритовыми сланцами, окатанность плохая, часто уплощенная. Встречаются веревки валуны до 50-60см в поперечнике. 10-20 м
 2. Мергели белые и светло-серые плотные с редкими включениями обломков гипербазитов. Содержатся два прослоя (15-60см) крупнозернистых полимиктовых песчаников и гравелистов 12-15 "
 3. Суглинки розовато-белые (1,5-2м), переходящие вверх по разрезу в вишнево-красные и красные глины с остатками фауны гризунов. около 30 "
- Мощность отложений в разрезе 52-65м.

Аналогичные разрез верхнеогенowych отложений наблюдается на левом берегу р. Тес-Хэма. Севернее оз. Шара-Нур разрез отложений по данным скважин имеет следующую последовательность (снизу):

1. Глины и суглинки светло-коричневые слюдистые с редкими прослоями (0,2-0,5м) в основании светло-серых мергелей и тонкозернистых песков. 113 "
 2. Перегидрированные коричнево-серых, серых и голубовато-серых суглинков и супесей. Реже содержатся пески и мергели с редким гравийным материалом ? "
- Неполная мощность отложений района оз. Шара-Нур составляет 120м.

Возраст описываемых отложений устанавливается на основании остатков ископаемой фауны, обнаруженной в красных глинах на южном склоне хр. Агар-Дат-Тайга. И.М. Пронов из нашей коллекции описал: зайцеобразные (семейство Leporidae); зубы, петрундуриды (семейство Ochetidae); обломки верхней челюсти с сильно стертыми зубами №1 и №3 хомьяков (семейство Scirtidae рода Stelictus). На основании этих определений И.М. Пронов заключает, что возраст отложений не моложе среднего плейстоцена и не древнее плиоцена.

Песчано-глинистые отложения с линзами мергелей, обнаруженные в нижнем течении р. Холу (лист М-46-Х) и содержащие гиппарионовую фауну, Л.Д. Шорыгинной так же отнесены к плиоцену (Шорыгина, 1960). В аналогичных красных глинах СЗ г. Чапан в 1964г. Б.О. Пирумовым обнаружен фрагмент верхней правой челюсти с двумя предкоренными зубами носорога discorhinus sp. Возраст этих глин определен как верхний плиоцен (определение Н.К. Верещагина).

Общая мощность верхнеогенowych отложений колеблется от 47 до 120м (по данным бурения) и достигает, вероятно, 400-500м (по данным вертикального электрозондирования).

ЧЕТВЕРТИЧНАЯ СИСТЕМА

Четвертичные отложения используются широким развитием на изученной площади, представлены они целым рядом генетических типов. В основу возрастного членения положена стратиграфическая схема кайнозойских отложений Западной Тувы Л.Д. Шорыгинной (1960).

Н и ж в е т в е р т и ч н ы е о т л о ж е н и я (Q₁)

К нижнечетвертичным отложениям условно относятся вскрытые скважинами по правому берегу р. Тес-Хэма аллювиальные и пролювиальные отложения, представленные крупнозернистыми серыми и бурыми песками с прослоями серых, пазух, желто-бурых суглинков, желтых и желтовато-серых супесей (с большим количеством щебня), серых и желто-бурых песчанистых глин с гравием. Проллювиальные отложения этого возраста описаны Л.Д. Шорыгинной по р. Холу (лист М-46-Х), где они залегают на дислоцированных отложениях неогена. К нижнечетвертичным отложениям на площади листа М-46-ХП относятся так же аллювиальные отложения, сложенные III надпойменной террасой р. Тес-Хэма высотой 70м. Эти отложения представлены грубозерни-

льми буровато-желтыми песками с выветреной галькой. В Центрально-Тувинской впадине схожие выветрелые галечники, сложенные террасу высотой 70м по Енисею, урываются Л.Д. Шорыгиний с древнеледниковым покровом морены, развитой в долине р. Шалша.

С р в д н е ч е т в е р т и ч н ы е о т л о ж е н и я (Q₁₁)

Среднечетвертичные отложения представлены в основном II надпойменной террасой р. Тес-Хэма высотой 30-40м. Аналогичные террасы Енисея сопоставляются Л.Д. Шорыгиний (1960) с алдешским оледенением среднеголедниковья. Наиболее полно на площади листа сохранились террасы по левому берегу р. Тес-Хэма, на правом же её берегу эта терраса почти полностью размита. Отложения представлены серыми разнозернистыми глинистыми песками с мелкой галькой и травянист.

Задевают они на серых глинах со швом. Мощность среднечетвертичных отложений в районе, по данным бурения, колеблется от 4 до 29м.

В е р х н е ч е т в е р т и ч н ы е о т л о ж е н и я (Q₁₁₁)

Верхнечетвертичные отложения слоятся I надпойменной террасу высотой 10-20м по рекам Тес-Хэму, Ужарлыг-Хэму и Нарин-Тоу. Аналогичные террасы Енисея в Центрально-Тувинской впадине сопоставляются со временем тазовского оледенения. Террасы рек сложены невыдержанными по мощности песчано-гравийно-галечными отложениями с прослоями коссолоистого песка. Характерной особенностью для террасовых отложений является увеличение крутости материка к верхам разреза. Задевают они на буровато-серых тощих глинах и суглинках, мощность впадинах в пределах 10м. По возрасту они сопоставляются с террасами р. Енисея в Центрально-Тувинской впадине, которая датируется временем тазовского оледенения.

К верхнечетвертичным (верхнеледниковым) отложениям относятся также озерные образования, развитые в долине оз. Шара-Нур. По данным бурения, эти отложения на значительной площади перекрыты слоем (мощность 7м) промывки. Озерные отложения представлены мелкозернистым песком и голубоватой супесью, содержащими ракушку гадьку. Нижняя граница озерных отложений условно проводится по кровле пласта серо-голубого суглинка верхнеоленового возраста. Мощность озерных отложений достигает 25м.

В е р х н е ч е т в е р т и ч н ы е о в е р х н ы е о т л о ж е н и я (Q_{111-IV})

Эти отложения подстилаются широким развитием на исследуемой площади и представлены различными тектоническими типами.

Эпидемиально-дельтальные отложения развиты по левому берегу р. Тес-Хэма в районе гор Тэль, Кара-Шат, Уластей, Хандавай и др. На правом берегу р. Тес-Хэма аналогичные отложения встречены восточнее пос. Берг-Дэг. Нижние горизонты эпидемиально-дельтальных отложений имеют древесно-щепнистый состав с примесью глинистого материала. Средние горизонты представлены древесной, песком, иногда глиной. В верхних горизонтах отложений за счет выдувания мелкой фракции происходит обогащение крупнообломочным материалом. Петрографический состав обломков тесно связан с составом коренных пород. Мощность отложений не превышает 10м.

Дельтальные и дельтаально-пролювиальные отложения в районе подстилаются наиболее широким развитием. Севернее ур. Сук-Бажу и на склонах хр. Агар-Дэг-Тайга дельтальные отложения представлены крупнообломочным материалом. Песчаная фракция составляет не более 15-20%. Аналогичный состав дельты наблюдается в виде узких полос у основания гор Кара-Шат, Ямалыг и Курталдычи. Мощность дельты у хребтов достигает 20м. В районе гор Уластей, Таштыг-Турут, Куйдуг-Шат, Хандавай дельтальные отложения сложены серыми мелко- и среднезернистыми кварц-полизвошпатовыми песками. Близи выходов коренных пород к пескам примешивается небольшое количество мелких неокатанных обломков. Дельтальные отложения обычно залегают на бурых суглинках верхнего оленова. Мощность дельты в этом районе колеблется по данным бурения от 2 до 15м. В местах выхода на поверхность верхнеоленовых глин и суглинков дельтий (мощность до 6м) представлены серым, желто-серым и бурым несортированным песком с редкими включениями травы.

Продлювиальные отложения наиболее широко развиты по южным склонам хр. Танну-Ола и окймляют хр. Агар-Дэг-Тайга. По правому берегу р. Тес-Хэма для пролювиия характерны суглинки серого цвета с большим количеством шовня, серая супесь с гравием, перекрытая сверху серой и желтовато-серой супесью. Общая мощность пролювиия 14-16м. По южному склону хр. Агар-Дэг-Тайга пролювиий представлен серовато-желтым песком с крупным швом и залегают на верхнеоленовых бурых глинах. Мощность продлювиальных отложений здесь 15-20м. По северному флану хр. Агар-Дэг-Тайга пролювиий более мелкозернистый, сложен супесью с примесью шовня. Мощность пролювиия у

Подложный хребта не менее 20м.

Золотые отложения развиты севернее оз. Тере-Холь в урочищах Орта-Кентой и Бурээ. Пески урочищ мелкозернистые, пылеватые, существенно кварцевые и образовались в районах относительно поднятий, являясь продуктами переработки верхнеюрских песков. Пески севернее оз. Тере-Холь кварц-полеваяшчатые и преобладают почти исключительно в основном на гранитных массивах, мощность песков здесь колеблется от 2 до 6м. Вероятно, мощность песков в урочищах таже не превышает 10м.

С о в р е м е н н ы е о т л о ж е н и я (Q_{IV})

Современные отложения представлены аллювием нижней и верхней пойм рек Тес-Хама и Нарин-Тода, проливными отложениями временных водотоков, отложениями озер Шара-Нур, Дус-Холь. Аллювиальные отложения сложены песками, галечниками и валунниками. В дельте р. Тес-Хама аллювий сложен супесями и суглинками с редкими включениями мелкой гальки. Мощность отложений неясна. Пролитый представлен грубообломочным материалом. Узерные отложения сложены супесями, глинами и суглинками с гнэдами и прослойками солей (оз. Дус-Холь).

ИНТРУЗИВНЫЕ ОБРАЗОВАНИЯ

Интрузивные образования развиты весьма широко в пределах района, разнообразны по возрасту и составу и разделяются на четыре интрузивных комплекса: докембрийский, ранне-среднекембрийский (актозракский), раннедевонский (гянульский), раннедевонский (ортхольский).

До кембрийский интрузивный комплекс в пределах территории листа выделяется условно по аналогии с соседним к востоку районом (Шапошников и др., 1955ф). К ним относятся небольшие пластообразные тела гнейсо-гранитов, развитых в ядре антиклинальной складки севернее оз. Тере-Холь. Гнейсо-граниты залегают, как правило, согласен с вмещающими гнейсами, кристаллическими сланцами и амфиболитами мугурской свиты. В отдельных случаях наблюдались рудные конгломаты.

По внешнему облику гнейсо-граниты представляют собой розово-серые отчетливо гнейсовидные породы, часто порфиоровидные, бледно-гранитовой, иногда порфиробластовой структуры, в ряде случаев в

связи с обилием включений наблюдается развитие типичной структуры. Главные породообразующие минералы представлены микроклином, кварцем, олигоклаз-энклазитом (30-35%), биотитом и мусковитом, в некоторых разновидностях гнейсо-гранитов нередки реликты граната, силлиманита и дистена (суммарно в количестве до 10%). Акцессорные минералы представлены цирконом и апатитом. Отчетливо проявлен кварцевый метасоматоз, выражающийся в интенсивном замещении плагиолиза микроклином и мусковитизации биотита. Гейолито-петрографическая особенность гнейсо-гранитов заключается в вероятности метасоматического их происхождения при процессах гранитизации парапорода в условиях интенсивного каллевого метасоматоза.

В тесной пространственной и, вероятно, генетической связи с гнейсо-гранитами развиты пегматиты, встречающиеся как среди вмещающих гнейсовых толщ, так и среди самих гнейсо-гранитов в виде сплошных, реже секундарных жилкообразных тел. Пегматиты сложены кварцем, микроклином, альбитом (Ж-8), мусковитом и биотитом. Акцессорные минералы представлены магнетитом и цирконом. Для пегматитов характерно интенсивное проявление процессов метасоматического развития кварца и мусковита, которые замещают плагиоклаз, микроклин и апатит вплоть до образования кварц-мусковитовых пород. Размер кристаллов мусковита достигает 3-5см. Следует отметить, что на соседней к востоку площади с пегматитами гнейсо-гранитового верхнепротерозойского (?) комплекса связано несколько проявлений и Мюрэнское месторождение мусковита (Ильин, Моралев, 1957). С докембрийским магнетизмом, вероятно, связано погребение широко развитых в зонах распространения гнейсо-гранитов интрузивных гнейсов типа мигматитов, которые содержат значительный материал аллювиального и аляскинского состава, повывающийся в результате селективных вылавок из вмещающих гнейсов.

Докембрийский возраст гнейсо-гранитов доказывается своеобразными условиями залегания и петрографическими особенностями этих пород, отсутствием подобной типа интрузивных образований в области развития кембрийских отложений, а также наличием гальки гранитоидов в составе конгломератов шурмакской свиты нижнего кембрия (Ильин, Моралев, 1957). В бассейне нижнего течения р. Эрзин сходные интрузивы гнейсо-гранитов условно выделены (Шапошников и др., 1955ф, Ильин, Моралев, 1957) в качестве верхнепротерозойских. Наличие докембрийских интрузивов установлено в последние годы также в восточной Туве в бассейне р. Билин (Махин, 1956).

Ранне-среднекембрийский интрузивный комплекс в районе представлен телами ультраосновных и основных пород.

Ультраосновные породы (6 см^2) пользуются развитием в пределах зоны Агардагского глубинного разлома и являются частью Кюно-Тувинского (Пинус и др., 1955) или Эрзинского (Ильин, Мордлев, 1957) гипербазитового пояса, прослеживающегося в восточном направлении за пределы территории листа.

Отдельные массивы гипербазитов актобарского комплекса представлены конкордантными телами, линейно-вытянутыми в северо-восточном направлении строго согласно с вмещающими их нижнекамбрийскими породами и основными диэбзиловыми нарушениями. В пределах района насчитывается 16 гипербазитовых массивов, размеры которых варьируют от очень мелких — площадью в несколько сотен квадратных метров, до крупных — площадью в 4 км^2 .

Наиболее крупный Агардагский массив, занимающий центральную часть хр. Агар-Дат-Тайга, вытянут в северо-восточном направлении на протяжении 20 км при ширине от $0,5$ до 4 км . Форма массива в плане линзовидная, несколько суженная на северо-восточном окончании массива. Западное окончание Агардагского массива осложнено диэбзиловыми нарушениями. С юга массив ограничивается крупным диэбзиловым нарушением и, возможно, частично перекрыт рыхлыми кайнозойскими отложениями. В составе массивов преобладающим развитием пользуются серпентиниты и серпентинизированные гарцбургиты. В подчиненном количестве представлены пироксениты (диаллазиты, ренжериты и энстатиты) и дуниты.

Среди серпентинитов, в зависимости от соотношения главных минералов: антигорита, хризотила, састила — различаются антигорит-хризотилевые и хризотил-антигоритовые разновидности. Второстепенные минералы представлены серпентитом, хромитом, спорадически встречаются карбонат, брусит, амфибол и тальк.

Гарцбургиты являются наиболее распространенным типом неизмененных и слабо измененных гипербазитов. По внешнему виду представляют собой массивные зеленовато-серые породы, обладающие порфиридной текстурой, обусловленной наличием крупных обстидовых псевдоморфоз. Минералогический состав определяется сочетанием существенно магнетитового оливина и энстатита, в незначительном количестве присутствуют диопсид, ювчин магнетит и хромит, спорадически встречаются тальк и тремолит. Породы постоянно в той или иной мере серпентинизированы.

Дуниты слатают небольшие по площади участки (до сотен метров в поперечнике) в центральной части Агардагского массива. Представлены они зеленовато-серыми породами, покрытыми с поверхности бурой или серой корочкой выветривания, сложными серпентинизиро-

ванными оливином, ромбическим пироксеном (от 1 до 5%), магнетитом. Диаллазиты встречены в Кара-Шатском массиве и в центральной части Агардагского массива в виде неправильных линзовидных участков среди серпентинизированных гарцбургитов. Представлены они зеленовато-серыми средне- и крупнозернистыми массивными породами. Пироксен (диопсид-геденбергит), слатающий диаллазиты, отличается сравнительной свежестью.

Ренжериты установлены совместно с диаллазитами в Агардагском и Карашатском массивах. Это массивные темно-серые породы, состоящие из ромбического и моноклинового пироксенов и присутствующих в подчиненном количестве серпентина, хромита, магнетита, талька.

В составе Карашатского массива встречены энстатиты. Слагающий их ромбический пироксен обнаруживает значительные отклонения от ромбической сингонии.

В тесной пространственной связи с гипербазитами наблюдаются развитие пород метасоматического происхождения, довольно разнообразных по составу. Среди них наибольшим распространением пользуются талько-карбонатные слатаиниты, карбонатно-тальковые породы и талькиты, причисленные к диэбзиловым нарушениям. Пользование этих пород связано, вероятно, с воздействием на гипербазиты нижнекалозойских грабнитоидов.

В зонах контакта гипербазитов с прорывающими их интрузивными телами кислото и основного состава встречаются цоизитовые, хлоритовые, гранат-хлоритовые, везувиян-доизит-хлоритовые, поизит-амфиболовые и пироксен-карбонатные породы, образование которых происходит за счет проявления симетасоматических и метасоматических процессов (Пинус и др., 1955). На контактах гипербазитов с вмещающими их нижнекамбрийскими осадочно-вулканогенными породами не отмечаются никаких признаков активного воздействия ультраосновных магм. Во вмещающих гипербазиты основных эффектувах непосредственно в зоне контакта усложняется образование незначительной амфиболитизация с новообразованием актинолита. В ряде случаев наблюдается во вмещающих эффектувах и известняках проявление талька, хлорита, карбоната, новообразованные которых связано, по-видимому, с проявлением контакто-реакционных биметасоматических процессов. С гипербазитами в пределах района связаны проявления хромита, хризотил-эсовета, талька, участками в гипербазитах Агардагского массива по данным спектральных анализов устанавливаются повышенные содержания никеля (до 1%) и кобальта ($0,1-0,3\%$).

Вопросы возраста и генетического положения гипербазитов Туван детально рассмотрены в специальной монографии Г.В. Пинуса, В.А. Кузнецова и И.М. Волохова (1955), отметивших связь гипербазитов с

глубинной перidotовой магмой. Внедрение магмы приурочено, по-видимому, к периоду максимального погружения узкого геосинкли-нального "приразломного" прогиба, когда глубинные разломы дости-тали мантии. Гипербазиты повсеместно прорывают осадочно-вулкано-генные образования нижнего кембрия; в Западной Туве в районе г. Ша-тонар наблюдается прорывание гипербазитами флуидистически харак-теризованных среднекембрийских отложений карабулунской свиты. Верхняя возрастная граница гипербазитов определяется нахождением гальки гипербазитов в базальных конгломератах орудовика (Пинус и др., 1955). В базальных горизонтах верхнекембрийских отложе-ний в обилии присутствует галька микрокварцитов и метабоборо (Вягенов, 1959), образование которых по времени близко к внед-ранию гипербазитов. Таким образом, возраст гипербазитов устанав-ливается в интервале нижнего-среднего кембрия.

Основные породы ($v_{см. 1-2}$) габбро и габброамфиболиты, слывшие вытянутые согласно с направлением основных разрывных и складчатых структур массивы площадью до 8 км², пространным тесно связан-ные с гипербазитовыми массивами. Габброиды отчетливо прорывают ги-пербазиты. В редких случаях в зонах, камерных сангиветрами, на-блюдается постепенные переходы между основными и ультраосновными породами, обусловленные проницаемым в пироксениты сосуществов и, иногда, плагиоклаза (анбита) при одновременном замещении энстатит-гита актинолитом. Подобные взаимоотношения распространяются как ра-зультат проявления реакционных взаимоотношений на контакте хими-чески неравновесных пород в процессе регионального метаморфизма. В ряде участков наблюдается прорывание габброидов дайкообразными телами платиогранитов тангульского комплекса. По петрографичес-ким особенностям в интрузии выделяются следующие разновидности пород: габбро, габбро-амфиболиты, амфиболиты, амфиболовые сланцы. Габбро представляет собой средневозрастные зеленоватые-серые по-роды, встречающиеся обычно в центральных частях наиболее крупных массивов, расположенных по правому борту долины р. Тес-Хама и в районе г. Кара-Шат. Структура пород габбровая, главными минерала-ми являются плагиоклаз и в той или иной мере амфиболитизированный пироксен. Сохраняющийся иногда первичный плагиоклаз соответствует по составу андизин-лабрактору (Ж4-6-56). Чаще встречается дианортитиз-ированный плагиоклаз - альбит и альбит-олигоклаз (Ж2-12). Среди пироксенов различаются моноклинные разновидности, близкие к диоп-сиду, и интенсивно плевохромуший гиперстен. Акцессорныя минералы представляют титаномагнетитом (до 10%) и апатитом.

Габбро-амфиболиты и амфиболиты - зелено-серые средне- и круп-нозернистые отчетливо сланцеватые породы с гранобластовой, инот-

да реликтовой габбровой структурой. Основные минералы - плагио-клаз и амфибол, в переменном количестве присутствует кварц, ак-цессорные минералы представлены рудным, рутилом, ванадием. Пла-гиоклаз в большинстве случаев нацело замещен агрегатом сосюрита, эпидота, цокинта, кальцита, актинолита. Амфибол - обильная роговая обманка характеризуется непостоянством оптических свойств, интенсивности окраски и плевохроизма; водами зерен плагиоклаза встречается синевато-зеленая роговая обманка. Кварц, присутствую-щий в большинстве разновидностей габбро-амфиболитов и амфиболи-тов, явно вторичный, проникает в породу в виде пятен и прожилков, развевших амфибол и плагиоклаз. Рудный минерал содержится в ко-личестве до 6-8% в виде агрегата зерен магнетита и ильменита; структура расплава отсутствует. В некоторых разновидностях амфибо-литов в количестве до 5% устанавливается рутил (лейкоксен).

Амфиболовые сланцы отличаются от амфиболитов крайне широким развитием процесса окварцевания. Содержания кварца достигает 60% и более.

Химический состав габброидов комплекса достаточно разнообраз-ный. Наименее измененное габбро отличается от среднего габбро по р. Дели повышенным значением анортитовой извести. Наиболее изме-ненные разновидности основных пород весьма сходны с вмещающими их более мелкозернистыми амфиболитизированными эффузивами основ-ного состава. В результате создается видимость постепенных пере-ходов между габброидами и эффузивами, что является, очевидно, ре-зультатом совместного более позднего метаморфизма этих пород в зоне разлома. Интенсивность метаморфизма в участках наиболее ин-тенсивного его проявления отвечает условиям альбит-эпидот-амфибо-литовой фации по ф. Тернеру.

Металлоносность основных интрузий вктовражского комплекса изучена весьма слабо. По данным спектральных анализов габброиды, прорывавшие гипербазиты Алардагского массива, характеризуются по-вышенными содержаниями никеля (до 1%), кобальта (до 0,1%), иногда меди (0,1-0,5%). Обращает также внимание выявление в некоторых разновидностях амфиболитов рутила (до 5%), развивающегося по ти-таномагнетиту и ильмениту.

Наличие основной интрузии, близкой по возрасту с гипербазита-ми, впервые установлено Г.В. Пинусом (1953), который, отмечая по-степенные переходы от амфиболитизированных эффузивов к габбро-ам-фиболитам и габбро, рассматривает основные интрузии гипербазито-вых покровов как результат палингеного плавяния вмещающих эффу-зивов в зонах широкого проявления динамометаморфизма и метасома-

тических процессов. Не отрицая возможности появления на отдельных участках палингенных габброидов, отмечаем, что для сравнительно крупных массивов метагаббро более вероятным представляется образование этих массивов в результате интрузии базальтоидной магмы с последующим преобразованием габброидов в период регионально-метаморфизма. Внедрение основных интрузий связано, вероятно, с самостоятельной фазой складчатости, приуроченной к концу нижней-среднекаمبرийского магматического цикла, предшествующей главной фазе складчатости (инверсионной складчатости). Проявление регионального метаморфизма пород основной интрузии сопряжено с периферией главной фазы складкообразования, которая завершается формированием существенно гранитицидных интрузий таннуольского комплекса.

Р а н н е п а л е о з о й с к и в и н т р у з и я н у о л ь с к о г о м п л е к с а в пределах района слатяк ряд штокобразных массивов площадью до 30 км². Массивы сложены непрерывным рядом пород от основного до кислого состава — габбро, габброидоритами, диоритами, кварцевыми диоритами, плагиогранитами, гранит-порфирами. Характерно широкое развитие жильной асимметрии и контаминации, что является основной причиной многообразия пород комплекса.

Габбро и габбро-диориты (δ - ν Pz₁) распространены, главным образом, в составе массива, расположенного к востоку от гор Кудлуг-Шат и прорывающего гнейсы мугурской свиты. По внешнему виду это зелено-серые и темно-серые средне- и крупнозернистые породы, состоящие из андезит-лабрадора и лабрадора, монаклинного пироксена, развивающегося по пироксену амфибола, встречается тальк. Акцессорные минералы представлены апатитом и титано-магнетитом. Структура пород габбровая, иногда переходная к габбро-офитовой.

Диориты (δ Pz₁) совместно с кварцевыми диоритами являются наиболее распространенными породами в составе интрузивных массивов таннуольского комплекса. Это серые и темно-серые среднезернистые, иногда порфиробластные породы типидиоморфнозернистой структуры. Минералогический состав их следующий: плагиоклаз (40-45) в диоритах, (40-24) в краевых частях зональных кристаллов кварцевых диоритов, амфибол, пироксен (диопсид), в кварцевых диоритах присутствуют биотит и кварц, акцессорные минералы — титаномагнетит, сфен и апатит.

Плагиограниты (γ - δ Pz₁) слатяют самостоятельные небольшие массивы и встречаются совместно с кварцевыми диоритами в составе массива, прорывающего в южной части района гнейсы и кристаллические сланцы мугурской свиты. Плагиограниты связаны поставленными переходами с кварцевыми диоритами. По внешнему виду плагиограниты

представляют собой розовато- или лимонно-серые среднезернистые породы. По составу темноцветных минералов различаются биотитовые и биотит-амфиболовые плагиограниты и аляскины. Структура пород типидиоморфнозернистая. Основные породообразующие минералы представлены плагиоклазом (олигоклазом и олигоклаз-андезином) кварцем, биотитом, в качестве второстепенных и акцессорных минералов присутствуют калишпат, амфибол, сфен, руднит, циркон, апатит. При увеличении содержания калишпата в плагиогранитах намечается переход последних в адымелиты и гранодиориты.

Гранит-порфиры развиты в виде мелких выгнутых в северо-восточном направлении тел в районе гор Кудлуг-Шат и отмечаются в составе отдельных гранитных массивов. Эти породы являются типическими образцовыми краевой и, частично, по-видимому, жильной фации интрузий таннуольского комплекса. Они представлены светло-серыми, розово-серыми и зеленовато-серыми породами, мелкозернистого порфиробластного строения. Вкрапленники представлены плагиоклазом и оплавленными зернами кварца. Основная масса гранит-порфиров микроплетитовой и микрогранитовой структуры сложена преимущественно кварцем и калишпатом, им подчинены плагиоклаз и биотит, в незначительном количестве присутствуют руднит и апатит.

В зоне контакта интрузий таннуольского комплекса с вмещающими вулканическими образцовыми характерно появление так называемых "диоритизированных" порфиритов, по внешнему виду представляющих собой темно-серые мелкозернистые, часто порфиробластные породы. Структура их кристаллообластическая, сочетающаяся с типидиоморфнозернистой, нередко появление слитковой породы минералов: амфибола, равномерно распределенные слитами породы минералов: амфибола, плагиоклаза, кварца, магнетита и апатита, "диоритизированные" порфириды слатяют в контактных участках зоны шириной до 1 км и по мере удаления от контакта постепенно сменяются ороговикованными порфиридами. На контакте таннуольских интрузий и известняков, режа адуэизивов, встречаются скарны, среди которых различаются гранатовые, гранат-пироксеновые, кварц-амфиболовые, амфибол-эпидотовые, гранат-эпидотовые разновидности, часто содержащие скопления магнетита. В связи с интрузивными таннуольского комплекса характерно широкое развитие кварцевых и кварц-эпидотовых жил, которые широко распространены во вмещающих интрузии породах.

Интрузии таннуольского комплекса повсеместно прорывают олождения нижнего кембрия. Галечка пород таннуольского комплекса встречается в базальтных конгломератах орудника (Лукашев, Меткин, 1961б). Таким образом, возрастной интервал таннуольских интрузий определяется в пределах нижнего-верхнего кембрия. С этим согласуются

Данные определения абсолютного возраста пород этого комплекса, сообщаемые в верхнему камбрию (Иванова, Полежаев, 1956).

Р а н н е д е в о н с к и е и н т р у з и и - с д р т х о д ь - с к и й к о м п л е к с (ГД₁) пользуются наибольшим распространением в районе. Интрузии этого комплекса образуют многочислен-ные массивы штокобразной формы. Наиболее крупные массивы комп-лекса развиты в юго-восточной части района среди верхнепротеро-зойских отложений, где они частично перекрыты осадками неотена.

Состав интрузий свтхольского комплекса достаточно разнообраз-ен. Преобладающим развитием пользуются биотитовые граниты и тра-нодиты, встречаются аллитовидные и субаллотичные граниты. В сос-таве массивов, прорывающих эффузивы кзылбулакской серии, широко развиты кварцевые монцититы. Жильная фацция интрузий представлена гранит-порфирами и аллитами.

Граниты (ГД₁) пользуются особенно широким распространением в составе массивов, развитых среди верхнепротерозойских отложений. По внешнему виду это средние- и крупнозернистые породы, от жатова-то-серых до розово-красных, нередко порфировидные. Структура по-род гранитовая, участками микропегматитовая. Главные минералы представлены кварцем, калишпатом (микроклин), плагиоклазом (аль-бит-олигоклаз), биотитом. Второстепенные и акцессорные - мусковит, амфибол, рудный, циркон, рутил. При увеличении содержания калиш-пата граниты переходят в своеобразные разновидности, которые встре-чены среди крупного гранитного массива юго-восточнее г. Уластай.

Кварцевые сиениты, установленные в массивах, что севернее г. Алар-Дат и к югу от г. Уластай, представляют собой жатго-серые лейкократовые среднезернистые породы. Структура гипидиоморфнозер-нистая. Минералогический состав: калишпат, пергитизированный пла-гиоклаз, кварц, амфибол, магнетит, сфен, циркон, апатит. Вторич-ные - хлорит и эпидот.

Гранодиориты (ГД₁) совместно с кварцевыми монцититами слагают массив в долине р. Тас-Хема, а также встречаются в краевых частях крупных массивов хр. Алар-Дат-Тайга. По внешнему виду это средне-зернистые, иногда порфировидные породы, от темно-серых до розово-то-серых. Структура гипидиоморфнозернистая, переходящая к монцити-товой. Главные минералы пород представлены плагиоклазом, калиша-том, кварцем, роговой обманкой, акцессорные - апатит, магнетит, иногда сфен и циркон; вторичные - хлорит и эпидот.

Гранит-порфиры (ГД₁) широко распространены в краевых фациях гранитных массивов, а также встречаются в виде жильных образова-ний, прорывающих гранитоиды свтхольского комплекса. Это плотные

светло-серые и розово-серые породы, содержащие на фоне мелкозер-нистой основной массы вкрапленники калишпата, плагиоклаза и квар-ца.

Аллиты и аллитовидные граниты - мелкозернистые розово-серые породы, состоящие из калишпата, кварца, плагиоклаза (альбит-оли-гоклаз), биотита, мусковита, из акцессорных встречаются флюорит (до 5%) лейкоксенизированный ильменит и рутил.

Пегматиты представлены жильными и шпирями линзовидной и не-правильной формы мощностью 1-2 м. Типична письменная или графит-чешечная структура, нередко встречаются пегматитовидные грубозерни-стые срединные кварца и калишпата (микроклина). Плагиоклаз (аль-бит) содержится в небольшом количестве, интенсивно замещается мин-еральными и участками мусковитом.

Экзоконтактовые изменения пород с свтхольскими интрузивами вы-ражаются в проявлении щелочного и кремнекислотного метасоматоза. С интрузивными этого комплекса связаны гемагматитовые, карбонат-гемати-товые прожилки и жилы кварц-турмалинового состава, участвующие в генетической связи комплекса с проявленными полиметаллического и никель-нобагтового оруднения. Спектральные анализы пород свт-хольского комплекса обнаруживают частое присутствие иттербия, ит-трия, ниобия, которые не свойственны породам тангульского комп-лекса.

Возраст интрузий свтхольского комплекса в Туве определяется как нижнедевонский. В пределах района интрузии комплекса прорывают кзылбулакскую серию; галька гранитов обильно представлена в сос-таве конгломератов базальной пачки верхнего девона.

Дайки пользуются весьма широким распространением в пределах района. Расчленение их по возрасту и генетической принадлежности представляет большие трудности, в связи с чем они разделены по составу на следующие три группы: 1) дайки основного и среднего состава; 2) дайки кислого состава; 3) дайки лампрофиров.

Среди основного и среднего состава выделяются дайки твобро-диабазов, диабазовых и аморитовых порфиритов. Мощность их колеб-лется от 0,5 до 5 м, протяженность до 3-4 км. Составляют они из пла-гиоклаза (от андезин-лабродора до кислого андезина в краевых час-тях), пироксена (авгит), уралитовой роговой обманки, в незначи-тельном количестве присутствуют титаномангнетит и апатит, иногда появляются кварц и сфен.

Подвзглящая часть даяк кислого состава: аллиты, гранит-порфи-ры, пегматиты являются жильной фацией гранитоидов свтхольского и тангульского комплексов. К субвулканическим образованиям, возмож-но, относятся кварцевые альбигириды, в которых наблюдается вкрап-

Ленники альбита и среди основной массы влитоформорфнозернистой интрузивной магматической структуры, в которой различаются плагио-клас, кварц, хлорит (по биотиту), магнетит и апатит.

Дайки лампрофиров развиты в пределах зоны Агардагского глубинного разлома и прорывают различные интрузивные образования, в том числе граниты селхольского комплекса. Взаимотношения лампрофиров с дайками других групп не изучены. Лампрофиды образуют вертикально и круто западающие дайки мощностью 1-2 м, проследившиеся по простиранию на расстоянии до 2 км. Среди лампрофиров встречаются разности, соответствующие по составу маркфидитам, мелхитам и натровым вольтзитам. Наибольшим распространением пользуются маркфидиты, маркоскопически представляющие собой светло-зеленые мелкозернистые породы с различными кристаллами амфибола и плагиоклаза. Структура типидиоморфнозернистая при резко выраженном идиоморфизме амфибола и плагиоклаза, нередко наблюдается порфиробидная структура, обусловленная наличием выделений амфибола.

Выделенные в районе интрузивных комплексов отличаются своими физическими данными. Гипербазиты актовракского комплекса характеризуются высокими значениями напряженности магнитного поля 10-20 мВ в отдельных участках до 25-28 мВ. По результатам аэромагнитной съемки хорошо выделяются наиболее крупные Агардагский и Карагетский гипербазитовые массивы. Сравнительно высокие значения ΔT усредняются над массивами диоритов и габбро таннуольского комплекса 4-9 мВ. Гранитоиды таннуольского и селхольского комплексов создают перманентное магнитное поле с колесными значениями ΔT от минус 2 до 5 мВ. Положительные значения ΔT в большинстве своем связаны с гранодиоритами и кварцевыми монцонитами.

Метаморфизованные габброиды актовракского комплекса дают положительные значения ΔT (до 2 мВ) только в центральных частях сравнительно крупных массивов. Пониженные магнитности метабазитов в краевых частях массивов, вероятно, связано с сокращением количества магнетита (вплоть до его полного исчезновения) при преобразовании габбро в габбро-амфиболиты и далее в амфиболиты.

Породы селхольского комплекса (от пранитов до кварцевых монцонитов) характеризуются повышенной гамма-активностью в пределах 15-25 тР/ч. Гамма-активность прочих геологических образований колеблется от 5 до 12 тР/ч (Меткин, Немцович, 1963р).

1027

ТЕКТОНИКА

Рассматриваемый район располагается в зоне сопряжения тектонически разнородных структур, различающихся особенностями проявления осадконакопления, магматизма, тектоники и истории геологического развития. Юго-восточная часть территории листа принадлежит к Сангиленской структурно-фациальной зоне, являющейся частью Восточно-Сангского докембрийского складчатого массива, который уже к нижнему кембрию завершил этап собственно геосинклинального развития (Кузнецов, 1954).

В северо-восточном направлении через весь район проходит зона Агардагского глубинного разлома, сопрягающая нагорье Сангилен с сакарскими структурами Тувы и проследившаяся за пределы района на восток на протяжении около 300 км. В нижнем кембрие зона Агардагского глубинного разлома являлась областью формирования узкоугольного геосинклинального прогиба (тропа), выделенного В.А. Амантовым и Л.С. Матросовым (1961), в качестве Кузунгурского "шовного" или "приразломного" прогиба. Для последнего характерен непрерывный и выдержанный процесс погружения дна геосинклинали, сопровождающийся массовыми излияниями лав диabasо-спилитовой формации, чередующихся с терригенно-карбонатными и кремнисто-сланцевыми отложениями.

Крайняя северо-восточная часть территории листа охватывает структуру Восточно-Таннуольского антеклинория, проследившаяся в северо-западном направлении и сложного, главного образом, породами андзито-савалтовой и терригенно-карбонатной формации нижнего и среднего кембрия (Дукашев, Меткин, 1961р).

Центральная и северо-восточная части района входят в структуру восточного окончания Южно-Тувиинской межгорной впадины, сложной сингурическими и дзвонскими эффузивно-осадочными образованиями. Средне-палеозойская денудация на севере ограничивается структурами Восточно-Таннуольского антиклинория, на юго-востоке посредством крупных дизъюнктивных разрывов прорывает к зоне Кузунгурского "шовного" прогиба. В направлении на запад средне-палеозойская денудация перекрывается мощным покровом рыхлых отложений усунурской котловины, залегающей на протяжении неогена и четвертичного периода области относительно опущения и интенсивного осадконакопления.

По форме и интенсивности проявления дислокаций, степени метаморфизма, особенностям проявления интрузивной деятельности, а

также характеру осадочных и эффузивных формаций в пределах района выделяется четыре структурных этапа.

Первый структурный этап сложен верхнепротерозойскими метаморфическими отложениями Мурлоуской свиты. Основное развитие получили в юго-восточной части района, где они приурочены к юго-западному окончанию Тевксамского антиклинария (Ильин, Моралев, 1957). Отложения Мурлоуской свиты собраны в сложенные складки с общим северо-восточным простиранием. Проявляются узкие сжатые антиклинали и синклинали линейного типа с крутыми наклонами крыльев (углы падения 50-80°); в районе гор Куилу-Шат наблюдаются сложные несимметричные складки с первичными направлением осей складок. Порода нижнего структурного этапа претерпела интенсивные региональные и контактовые метаморфизм, отвечающие в осевых частях амфиболитовой фации. Интрузии докембрийского комплекса образуют конкордантные в большинстве своем солгасные с вмещающими породами линейно-вытянутые тела, дислоцированные в едином плане с вмещающими их верхнепротерозойскими образованиями.

Второй структурный этап представлен нижнекембрийскими образованиями, развитыми в пределах Кукунульского шовного прогиба и Восточно-Таннуольского антиклинария. Нижнекембрийские отложения, сложенные зоной Кукунульского шовного прогиба образуют в общем моноклиналидную структуру, нарушенную серией разломов северо-восточного простирания и вытягивающуюся в том же направлении с наклоном крыла на северо-запад (углы падения 50-80°). Моноклиналиная структура усложнена осложненными складками. В районе хр. Агар-Дат-Твайга отложения Кукунульской толщи образуют синклинальные складки с крутыми (60-80°) крыльями, осложненными мелкими дополнительными линейными складками. В районе г. Хайракана наблюдается синклинальная складка с размахом крыльев около 5 км, ограниченная с юго-востока и северо-запада дизъюнктивными нарушениями. По правому борту долины р. Тес-Хема в отложениях Кукунульской толщи развиты малые запрокинутые на северо-запад складки с весьма крутыми (80-90°) падениями северо-западных и более пологими (50-65°) юго-восточных крыльев. Порода, сложенная Кукунульским шовным прогибом, претерпела интенсивный динамометаморфизм, связанный с проявлением в зоне Агардатовского глубинного разлома интенсивных дифференциальных перемещений. Метаморфизм пород соответствует фации зеленых сланцев, в участках наиболее интенсивного проявления метаморфизма — эпидиот-амфиболитовой фации. В Восточно-Таннуольской структурно-фациальной зоне нижнекембрийские отложения (серлитская свита) наблюдаются среди полей развития интрузий тан-

нуольского комплекса. В этой части района нижнекембрийские отложения имеют моноклиналиные падения на север и северо-восток под углами от 35 до 60° и являются частью крыла крупной синклинали северо-западного направления. Последняя получила основное развитие на соседней площади листа М-46-ХI (Лукашев, Меткин, 1961ф). В зоне Восточно-Таннуольского антиклинария нижнекембрийские отложения метаморфизованы значительно менее, чем в зоне Агардатовского разлома.

Третий структурный этап объединяет слабо метаморфизованные образования силура и девона. Для этого структурного этапа характерно наличие местных переуровней. Значительное поднятие и разрыв происходили перед накоплением кызилбулакской свиты, базальная пацка конгломератов которой местами (правый борт долины р. Таректыл-Хема) залегает непосредственно на нижнем кембрии. Верхний девон со стратиграфическим и, возможно, угловым несогласием перекрывает отложения самгалтайской свиты, а на смежной к востоку площади — подстилается непосредственно нижнекембрийскими эффузивами холджинской свиты (Ильин, Моралев, 1957).

По величине переуровня третий структурный этап подразделяется на три подэтапа: нижний подэтап — включает отложения чарлакской, хондургейской и самгалтайской свит; средний — сложен эффузивно-туфогенными отложениями кызилбулакской свиты нижнего-среднего девона. Верхний подэтап представлен отложениями верхнего девона. Отложения третьего структурного этапа образуют в центральной и северо-восточной частях района ограничительную структуру, типа наложенной депрессии, представляющей собой восточное замыкание Южно-Тувинской межгорной впадины. Наиболее изученная северо-восточная часть этой структуры, известна под названием Самгалтайской синклинали (Ильин, Моралев, 1957). В центральной части этой синклинали порода имеют очень пологие углы падения — от почти горизонтального до 20°. На крыльях Самгалтайской синклинали крутизна наклона отложениями верхнего силура и нижнего девона увеличивается до 40-50°. Интенсивность складчатости резко возрастает в краевых частях среднепалеозойской депрессии вплоть Агардатовского глубинного разлома и у подножья хр. Восточного Танну-Ола, где в зонах разломов фиксируются крутые (до 70-80°) углы наклона крыльев.

Четвертый структурный этап сложен рыхлыми неотчетновыми и четвертичными отложениями, которые с резким угловым несогласием перекрывают образования нижних структурных этапов и выполняют огромную усунурускую котловину. Последняя в пределах района представляется своим северо-восточным окончанием. Укло-

1097

жения неотрета наблюдаются лишь в отдельных выходах и характеризируются пологими наклонями ($10-25^{\circ}$). Увеличение углов падения наблюдается у южного подножья хр. Агар-Дар, где оазидная папка неотрета известковистых брекчии залегает под углом 35° . Это обусловлено наличием здесь дизъюнктивного нарушения.

Разрывные нарушения в районе подзауретя весьма широким распространением. Наиболее крупной разрывной структурой первого порядка является зона Агардартского глубинного разлома, ограничивающая с северо-запада древние структуры нагорья Сангилен. Заложения Агардартского глубинного разлома относятся к самым низшим кембрию, когда произошло оформление тесно связанного с ним "приразломного" или "шовного" Кускутутского прогиба. В дальнейшем Агардартский глубинный разлом отчетливо контролирует размещение ультраосновных и основных интрузий актобарского и торгалжакского комплексов, являясь существенное влияние на проявление гранитоидных интрузий гандульского и селхольского комплексов. В среднем палеозое зона Агардартского глубинного разлома определяет юго-восточную границу Джено-Туинского межгорной впадины, формировавшейся в условиях интрузивных глинсовых перемещений. Агардартский глубинный разлом проявляется в виде своеобразной зоны сматки шириной около 20 км, состоящей из серии частых тектонических разрывов, параллельных или сопрягающихся под острыми углами. Амплитуда смещения по отдельным разрывам достигает нескольких километров. В пределах Восточно-Гандульской зоны преобладают разломы северо-восточного направления. В юго-восточной части района преобладают нарушения северо-западного направления, являющиеся, очевидно, сопряженными с зоной Хунтуйского глубинного разлома. Последний в пределах МНР в непосредственной близости от расчленяемого района ограничивает Докембрийский (Монгольский) складчатый массив от примыкающих к нему с запада и юго-запада каледонских структур Озерной зоны (Амантов, Матросов, 1961).

Большинство разломов принадлежит, вероятно, к категории крупнопадающих. В северной части района по левому борту долины р. Таркыт-Хамв имеет место надвиговое нарушение, по которому породы черкаской свиты надвинуты на вулканогенные образования кындудакской серии. В плане это нарушение имеет извилистую очертание. Падение плоскости смещения на восток - от 30 до 50° .

Разломы, как правило, отчетливо выражены в рельефе. Наиболее крупные разломы сопровождаются зонами дробления ширинной в десятки метров и нередко проявлением гидротермальных жидок кварцеволитов и гематит-карбонатного состава. Выщающие породы вблизи разломов

обычно сильно гоцирированы; в гипербазитах тектонические разрывы вызывают интенсивное оталькование ультраосновных пород. Большинство крупных разломов захватывает неотрета и четвертичные отложения, причем амплитуда их перемещений, по данным ВЗЗ достигает нескольких сотен метров. Проявление разломов в кайнозойских отложениях приводит нередко к разрыву смене различных тектонических типов четвертичных отложений, повиданию обрванных высоких террас, и выделению на поверхность по отдельным тектоническим блокам неотрета образований.

Историческое развитие разрывов в районе Агар-Дар и в его юго-восточной части, происходило накопление мощных отложений, свойственных микроосинклиналиным системам с последовательной сменой турригенных образований карбонатными. К концу палеозоя - в начале нижнего кембрия проявились первая складчатость, возможно, сопровождавшаяся интрузивным кислым составом. С этого времени Сангиленская зона приобретает устойчивую тенденцию к поднятию и является областью преобладающего развития, а в развивающемся Кускутутском шовном прогибе происходит осадконакопление мощной толши конгломератов шурманской свиты. Дальнейшее развитие зонного глубинного разлома и связанное с ним усиленное прогибание Кускутутского прогиба приводит к интенсивным изгибным лав традиционно типа диавозо-сидитового и, в меньшей мере, кислого состава и отложению кремнисто-сланцевых пород, перемещающихся с горизонтальными известняков (кускутутская толша). Вероятно, к середине нижнего кембрия относятся проявления подложительных тектонических движений, приводящих к перепаду в осадконакопления. Начиная с этого времени происходит формирование пестроцветных грубообломочных прибрежных отложений, сменяющихся накоплением преимущественно наземных лав андзитового и андзитово-базальтового состава (сергидская свита), захватывающих как зону Кускутутского шовного прогиба, так и Восточно-Гандульский антиклинарий. Последний, по Г.В. Пивусу (1961), уже в нижнем кембрие представлял собой относительно поднятое дожа кембрийской геосинклинали.

К концу нижнего-началу среднего кембрия относятся выделение ультраосновных интрузий актобарского комплекса, проявляющихся в тесной связи с деятельностью глубинных разломов, и следующие за ними основные интрузии, завершающих, по-видимому, кембрийский магматический цикл. В конце среднего, возможно, в верхнем кембрии, происходит интенсивное складкообразование, приводящее к завершению геосинклиналиного режима и сопровождавшегося формированием синорогенных интрузий гандульского комплекса. Последние до-

волею широко проникает и в пределы Сангилейской структурно-фа-
циальной зоны, где их распределение контролируется крупными раз-
рывными нарушениями.

В силуге происходит заложение среднепалеозойской надолженной
депрессии Южно-Тувинской межгорной впадины, приуроченной к участ-
ку виртуации сапайрских структур. Область поднятия и размыта в
этот период впадооб, главным образом, нагорья Сангилейн, которое,
по-видимому, не захватывало среднепалеозойской трансгрессией.
Южно-Тувинская межгорная впадина в силуге заполняется морскими
эпиконтинентальными отложениями черемской свиты. Восточный Танну-
Ола в этот период представлял собой область слабых опусканий, в
пределах которой лишь в отдельных участках происходило накопление
прибрежно-морских маломощных осадков. Конца силуге — начало дэво-
на знаменуются усилением роли глыбовой тектоники и сменой морских
эпиконтинентальных условий континентально-лагунами, в которых
происходит формирование красноцветных терригенных отложений хон-
дэрейской и саматгайской свит.

К нижнему дэвону относится дальнейшее усиление глыбовой тек-
тоники и обновление древних крупных разломов, в тесной связи с
которыми проявляется интенсивные изгибные эффузивы от основного
до кислого состава (кызылбулакская серия) с перерывом и, возмож-
но, с несомненным доказательством на отложениях саматгайской свиты. В
Восточном Танну-Ола в этот период также происходили изгибные эф-
фузивы, более кислых по составу в сравнении с эффузивами, разви-
тыми в пределах Южно-Тувинской впадины, что, очевидно, обуславли-
вается связью эффузивов с разломами различного порядка. К тринице
нижнего и среднего дэвона приурочено формирование тринитидных
интрузий сэтхольского комплекса, которые, как и таннуольские инт-
рузии, проникают далеко в область древних структур нагорья Санги-
лейн. В среднем дэвоне в восточной части Южно-Тувинской впадины
проявились восходящие движения, сменившиеся в верхнем дэвоне но-
выми прогибанием и накоплением нестропветной толщи песчанков с
горизонтами известняков. Начиная с карбона рассматриваемый регион
испытал длительный период относительного тектонического покоя.
К неогену рассматриваемая область представляла собой подгото-
вленную равнину с небольшими опускательными превышениями. В мио-
цен-плиоцене происходит оживление тектонических, преимущественно,
блоковых движений, приводящих к заложению каньонозойской усунуру-
кой котловины, наложенной на среднепалеозойскую Южно-Тувинскую
впадину и заподняемой в неогене и, возможно, заплеистоцена озер-
ными и озерно-эпидивизальными глинами, суглинками и песками.

Наиболее интенсивное проявление тектонических движений в кай-
нозое относится к концу плиоцена-началу четвертичного периода. С
тектоническими движениями этого времени связано считать в подолье
склады неогеновых отложений, перекрытых горизонтально залегаю-
щими четвертичными осадками. К послесреднечетвертичному времени от-
носятся новый период интенсификации дифференциальных блоковых пе-
ремещений, сопровождающихся оформлением основных элементов совре-
менного рельефа и частичной перестройкой гидросети.

ГЕОМОРФОЛОГИЯ

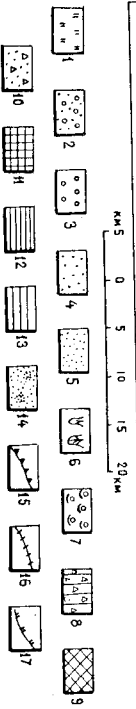
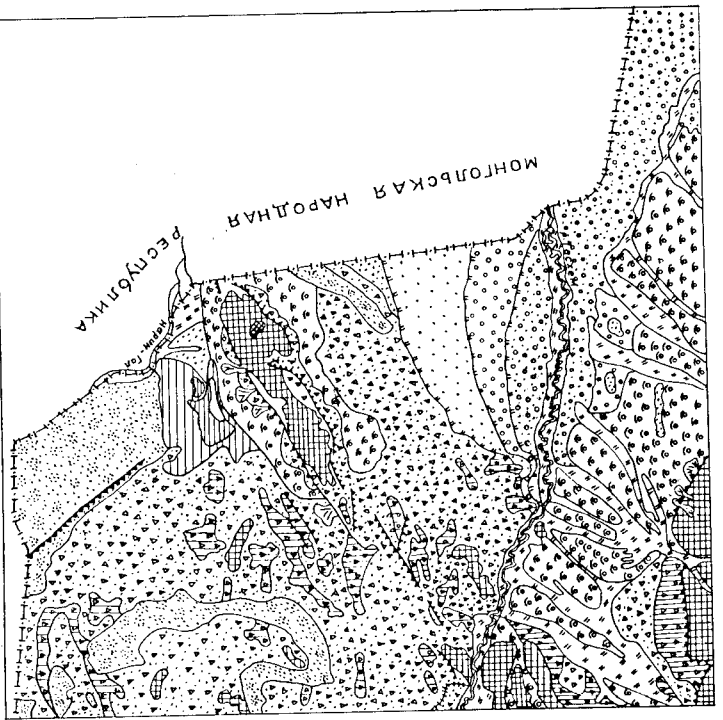
Рельеф изученной площади является сложным и неоднородным.

Центральная и северо-восточная части района, принявшие соот-
ветственно к западному фазу нагорья Сангилейн и юго-восточной око-
нечности хр. Восточного Танну-Ола характеризуются средне- и высо-
котерриым рельефом. Остальная же площадь, относящаяся к усунуру-
Тесхэской котловине, имеет ровный, холмистый рельеф. По способу
образования выделяются следующие формы рельефа: фливиальные, тре-
вигационные, озерные и золотые.

Ф л я в а л ь н ы е ф о р м ы р а в н ы н а ф а в а , образованные
русловыми и ветвистыми потоками устья представляют собой аллю-
виальные и проливизальные равнины (см. рисунок).

Аллювиальные равнины занимают обширные участки, приуроченные
в основном к долине р. Тес-Хэма. Обычно они представляют нижнюю
и верхнюю поймы и три надпойменные террасы. Высота нижней поймы
1-1,5 м, высота верхней поймы 2-4 м. Последняя особенно хорошо вы-
держана по долине р. Тес-Хэма. Высота I надпойменной террасы 10-
20 м, II надпойменная терраса (высотой 30-40 м) наблюдается лишь по
левому берегу. Рельефы этой террасы встречены в районе г. Тель и
по правому берегу р. Тес-Хэма. Обрывки III надпойменной террасы вы-
сотой около 70 м отмечаются по левому берегу реки в районе ур. Бя-
рээ.

Наклонная матерасчлененная проливизальная равнина характеризи-
руется сравнительно ровной поверхностью с небольшим уклоном от пред-
горий к долинам рек, угол наклона 0-12°. Образованные этих равнин
обусловлено деятельностью временно действующих потоков, поступаю-
щих материал с горных массивов. Равнины расчленены сухими руслами
рек и временных водотоков в северной части района и сеть оврагов
в предгорьях хр. Агар-Дэг-Тайга. Крупность обломочного материала
уменьшается к речным долинам.



Геоморфологическая схема

1-7 - фирменные формы рельефа - формы, созданные русловыми потоками: 1 - поймы низкие, 2 - поймы высокие, 3 - террасы верхнепалеоценовые, 4 - террасы среднепалеоценовые, 5 - террасы нижнепалеоценовые, 6 - конусы выноса современные, 7 - конусы выноса верхнепалеоценовые - современные; 8-10 - формы созданные русловыми стоком: 8 - склоны плоскостного сдвига, 9 - поверхность выровненные неогенового возраста, 10 - склоны дельтавидного накопления; 11 - гравитационные формы - склоны обвалдно-осынного сноса и накопления; 12-13 - озерные формы: 12 - озерные равнины современные, 13 - озерные равнины верхнепалеоценовые; 14 - золовые формы - золовые равнины; 15 - тектонические уступы, выраженные в рельефе; 16 - мелкие грёбы на выходах крутопадающих пластов; 17 - эрозионные уступы, выработанные в рыхлых отложениях

1027

К фирмальным формам, созданным русловым стоком, относятся склоны плоскостного сдвига и дельтавидного накопления, а также поймы и возвышения.

Склоны плоскостного сдвига развиты в центральной, восточной и юго-восточной частях района и приурочены в основном к низкогорному слабоэрозионному рельефу, абсолютные высоты которого достигают 1000-1200м. Этот рельеф представляет собой относительно невысокие холмы и увалы лишенные растительности. Породы, трудно поддающиеся выветриванию, образуют грёбы, грёбы, бровки.

Склоны дельтавидного накопления особенно широко развиты в левобережной стороне р. Тас-Ханма и приурочены в основном к низкогорному резко- и слабоэрозионному типу рельефа с абсолютными отметками 1000-1200м. Вдоль хребтов дельтавидные склоны густо расчленены растущими оврагами и руслами временных потоков. В местах, где дельтавидные склоны приурочены к слабоэрозионному низкогорному рельефу, развиты редкие задернованные овраги.

Выравненные поверхности неотген-четвертичного возраста приурочены к водораздельным просторанствам хр. Агар-Дар-Тайга с абсолютными высотами 1400-1600м. На древних поверхностях выравнивания сохранились места коры неогенового выветривания, сложенная брекчиями с карбонатно-глинистым цементом и карбонатно-глинистым веществом. Обломки в брекчиях представляют сланцами, кварцитами, гранитоидами и гипербазитами. Полевой шпат и темпцветные минералы интрузивных пород сильно выветрели и расстираются в порошок.

К р а в н и ц и о н н ы м ф о р м а м р е л ь е ф а относятся склоны обвалдно-осынного сноса и накопления, развитые в районе островных гор юго-восточной части района хр. Агар-Дар-Тайга и южных склонов хр. Танну-Ола. Эти формы приурочены к среднаторскому крутосклонному резко расчлененному рельефу с абсолютными отметками 1100-1700м. Формирование этого типа рельефа происходило в условиях сухого климата, при которых транспортировка материала происходила в основном гравитационным сносом и временными водотоками. Характерно развитие осыпей из мелко- и крупнообломочного материала, уступов, созданных гравитационным сносом.

Данный рельеф характеризуется следующими формами: узкими водоразделами, крутыми склонами, узкими ущельями, долинами временных потоков.

К о з е р н ы м ф о р м а м р е л ь е ф а относятся озерные равнины, представляющие собой ровные слабо наклоненные к озерам слегка холмистые поверхности, локализованные вокруг современных озер. Образованные равнины обязаны озерной аккумуляции.

Узверья равнина минерализованных озер Дус-Холь и Шара-Нур приурочена к тектоническому блоку северо-восточного простирания, испытывающему опускание с неотена.

К о л о в ы м ф о р м а м р е л ь в е ф а относятся золотые равнины, пользующиеся значительным распространением в районе ур. Бурээ, р. Нарин-Гола и оз. Дус-Холь. Характер местности, застроенной песками, мелкохолмистой. Образование песков, протегавшихся по восточной границе района является продуктом разрушения эрвизия, образовавшегося в основном на границах. Состав их кварц-полеволитовый. Пески, разлитые в районе ур. Бурээ и ур. Орта-Кан-гой, приурочены к тектоническим блокам испытывающим поднятия в четвертичный период, и являются продуктом разрушения верхнеолгоновых отложений. Состав их полимиктовый. Пески подразаделяются на новые отложения и незакрепленные. Характерными формами первых являются закрепленные и незакрепленные. Характерными формами первых являются сулгуры и продолжные гряды, для вторых - барханы и цепи барханов, имеющих высоту от 3-10 до 30-50м.

О с н о в н ы е м о м е н т ы ф о р м и р о в а н и я р е л ь в е ф а. В предплиоценовое время район представлял собой значительной мере палеопленизированную страну. В плиоцене хребты Танну-Ола и Агар-Дат-Тайга испытали небольшие воздымания. Вдоль их подножий примерно в современных контурах накопывались красноватые глины и сульфитки в условиях аридного климата. Плиоценовая поверхность выравнивания была, вероятно, сходная со слабо расчлененными релвфем, фиксируемым третичными базальтами на востоке Тувы и доплиоценовой корой выветривания на хр. Агар-Дат-Тайга. Доплиоценовый возраст коры выветривания устанавливается по наличию фауны грызунов плиоцена в глинах, залегающих непосредственно на коре выветривания.

В нижнем плиоцене район испытывает общее дифференцированное поднятие. Сокращается к западу площадь плиоценового озера; северным берегом которого является хр. Танну-Ола, обособляется озерная впадина восточнее хр. Агар-Дат-Тайга.

В начале среднего плиоцена район испытывает дальнейшее поднятие, происходит перестройка гидросети. К концу периода завершается палеопленизация района. Древняя р. Тас-Хам вырабатывает себе широкую пойму.

В послесреднеплиоценовое время происходило новое значительное поднятие в результате чего хр. Агар-Дат-Тайга поднялся примерно на 400м, хр. Танну-Ола - на 1000-1200м. К концу этого периода были созданы основные черты современного рельефа, обособились впадины озер Дус-Холь и Шара-Нур.

В конце верхнего плиоцена и в голоцене продолжается сокращение площади озер. Река Тас-Хам углубляет свое русло на 20-30м. В начале верхнеплиоценового периода заложилась реки жжно-по склона хр. Восточного Танну-Ола, разное воздымание испытывали блоки в районе ур. Бурээ и жкнее оз. Шара-Нур. Поднятия хр. Агар-Дат-Тайга происходило по обновленным древним разломам северо-восточного простирания.

В современную эпоху продолжается дальнейшее поднятие района. Особо заметно поднимаются участки в районе ур. Бурээ и ур. Орта-Кангой, где разрывные нарушения хорошо выражены даже в современных золотых песках.

ПОЛЕЗНЫЕ ИСКОПАЕМЫЕ

На исследованной территории обнаружены металлические, неметаллические полезные ископаемые и строительные материалы. Они представлены железом, титаном, хромом, медью, никелем, кобальтом, танталом-ниобатами, цирконом, ртутью, керамическим сырьем, всевозможном, графитом, природными солями, известняками и глинами.

МЕТАЛЛИЧЕСКИЕ ИСКОПАЕМЫЕ

Ч е р н ы е м е т а л л ы

Магнетитовые руды

З а п а д н о - К а р а ш а т с к о е р у д о п р о я в л е н и е (9) контактово-метасоматического типа обнаружено в 5,6км к западу от г. Кара-Ята. Здесь в экзоконтакте небольшого тела таб-бродиров таннуольского комплекса среди измененных эффузивов серлитской свиты развиты эпидот-гранат-магнетитовые скарны. Встреченные в эффузивных обломках и небольших коренных обнажениях скарны содержат мелкие неправильной формы тела магнетита размером до 30-40см.

Гематитовые руды

У ж н о - Т е л ь с к о в р у д о п р о я в л е н и е (7) гранотермального типа расположено в 1,5км ВВВ высоте 1024 и представлено кварц-гематитовыми прожилками мощностью 3-4см среди гранитов сукхольского комплекса.

Южно-Тельское рудопроявление (8) находится в 2,5 км восточнее высоты 1024 по характеру оруденения оно аналогичное вышеописанному.

На этом участке по данным аэромагнитной съемки отмечается местная аномалия со значениями ΔT до 5,5 мГс. Аномалия протягивается в шло-западном направлении на протяжении 6 км, захватывая площадь широкого развития рыхлых отложений.

Южно-Каравагское рудопроявление (13) расположено в 7 км к Ю.-З. от г. Кара-Шат. Здесь среди обречированных гранодиоритов селенитового комплекса наблюдается многочисленные прожилки кварц-тематита и тематита.

В районе гор Куйлур-Шат и к северу от них в зоне сочленения мугурской и шурмакской свит отмечены проявления руд инфилтрационного типа Куйлур-Шатское (42) и Северо-Куйлур-Шатское (49) представляющие дельтаидальными обломками гетитового и гетит-лимонитового состава. Размер обломков составляет 5-10 см в поперечнике. Спектральными анализами в них установлены следующие элементы: хром - 0,1-1; никель 0,005-0,5; кобальта 0,003-0,03; меди 0,003-0,3; марганца 0,05-0,5; свинца 0,001-0,03; цинка 0,003-0,01; мышьяка 0,2-1; тысячные доли процента серебра, ванадия, молибдена.

Все коренные проявления железного оруденения из-за малых размеров не представляют практической ценности.

Титан

Работали В.А. Меткина и В.М. Немцовича в 1961-1962 гг. и часогично Д.Н. Аяздердзиса в 1959 г. установлены повышенные концентрации титановых минералов в четвертичных озерных, аллювиальных и золотых отложениях. Наибольшим распространением пользуются ильменит, содержащиеся которого колеблется от сотен грамм до десятков килограмм на м³. Наряду с ильменитом присутствуют лейкоксен и рутил (до сотен г/м³), редкие знаки анатаза и брукита.

Наиболее значительные концентрации ильменита выявлены в районе ур. Борзэ (5) в кварц-толавошпалтов золотых песках. Оруденение проявляется в виде толочек северо-восточного направления на протяжении 15 км шириной 2,5 км. По данным опробования шурфов содержание ильменита в песках ур. Борзэ колеблется от 1,2 до 96,5 кг/м³ (среднее 25 кг/м³), магнетита - от 5 до 270 кг/м³ (среднее 30 кг/м³), циркона - от десятков до 750 г/м³. В озерных кварц-толавошпалтовых песках оз. Тера-Холья (55) устанавливаются содержания ильменита до

14 кг/м³ при содержании циркона 1,6-4,5 кг/м³, магнетита до 18 кг/м³ и рутила до 300 г/м³. В средне-верхнечетвертичных и современных аллювиальных отложениях р. Хырайт-Хема (1) содержание ильменита колеблется от 1,5 до 75 кг/м³, магнетита от 1 до 95 кг/м³ при содержании циркона не выше 200 г/м³. По данным Д.Н. Аяздердзиса (1960) в северо-восточной части ур. Урта-Кангоя установлены содержания ильменита до 5,6 кг/м³, циркона до 2,8 кг/м³, рутила до 1,5 кг/м³.

Основным источником накопления титановых минералов в рыхлых отложениях является, вероятно, рассеянная вмещающая ильменита в габброидах актовракского и гянгундского комплексов; нижнекамбрийские метаморфизованные основные эффузивы и амфиболиты мугурской свиты протерозоя также существенно содержат рассеянную вмещающую ильменита, нередко рутила.

Выявленные россыпные проявления титана характеризуются невысокими в целом, содержаниями полезных минералов. Комплексный характер россыпных проявлений (ильменит, циркон, титаномагнетит) позволяет рекомендовать постановку детальных поисковых работ с проходкой шурфов и скважин на отдельных участках района (ур. Борзэ, Урта-Кангой и Халда, р. Хырайт-Хем), где есть основания ожидать промышленные месторождения титана золотого и аллювиального типов.

По данным изучения шифов в габброидах нередко устанавливаются повышенная вмещающая ильменита (в габбро-амфиболитах - до 10%) и рутила (в эпитотных амфиболитах - до 5%). Для оценки персепктив метаморфогенного титанового оруденения, связанного с изменением габброидами, в первую очередь, необходимо провести минералогическое изучение интрузий основного состава.

Хром

В генетической и пространственной связи с алгадэгским массивом габброэпитот актовракского комплекса выявлен ряд проявлений хромитовых руд, среди которых наиболее крупными являются рудопроявления Перевальное и Восточное.

Рудопроявление Перевальное в 1904. В проценте предварительного обследования участка на площади 25х120 м встречено 7 жил (лины) вмещающих

X/ Наряду со шиховым опробованием по обычной методике применены все опробования рыхлых отложений по методу ВМС (Молджи, 1958) с отбором наибольших по объему проб рыхлых пород, подвергавшихся предварительному просеиванию с последующей обработкой их ормоформом и разделением на фракции.

и густоокрашенных хромитовых руд, залегающих среди слабо серпентинизированных дунитов. Мощности жил колеблется от 0,3 до 5,0 м, протяженность — от 3 до 25 м. Жилы ориентированы в широтном и северо-западном направлениях. Контакты жил с вмещающими их ультраосновными породами резкие, что указывает на гистерогенетический генезис руд. По данным химического анализа в штудийной пробе густоокрашенной руды содержится: двуокиси хрома — 52,38; закиси железа — 10,11; никеля — 0,026%.

Рудопроизводительность восточной (30) расположено в 2,5 км к югу от выс. 1518. Здесь среди серпентинитов и серпентинизированных перидотитов на площади 30х300 м выявлено 6 рудных жил с содержанием хрома от 15-20 до 95% (окрашенные, густоокрашенные и массивные руды). Жилы прослеживаются в северо-западном направлении по азимуту на расстоянии до 25 м при мощности 0,5-3,0 м.

По-видимому, жилы (линзы), наблюдаемые на Восточном и Северном рудопроизводительных являются частями более крупных тел хрома, разобщенных тектоническими нарушениями. Химический анализ образцов пробы одной из жил густоокрашенной руды показал наличие (в %): двуокиси хрома — 29,8; закиси железа — 8,34; никеля — 0,024; кобальта — 0,003.

Углубление FeO в рудах составляет 3,6-5,7, что свойственно высококачественным магнэхромитовым рудам пригодным для металлургической промышленности. Перспективные геологические запасы Агардатского массива могут быть оценены не менее, чем в 1 млн. т руды. На площади Агардатского массива рекомендуется провести детальные гравиметрические и геолого-поисковые работы.

Ц в е т н ы е м е т а л л ы

Медь

Необходимые по масштабам медные проявления обнаружены главным образом в южной половине площади листа. В Агардатском массиве среди серпентинитов на контакте с дайкой аллитов отмечается усложненная характерности халькопирита и примески малахита (33). Метаморфизованные габброиды актоварского комплекса, прорывающие тигервазиты в районе г. Ахир-Ула (24), содержат зерна халькопирита размером 0,1-1 мм. Содержание меди в этих породах по данным спектральных анализов составляет 1%. Примески медной зелени отмечаются также в расплавленных эффузивах южнее г. Кызыл-Ош (21) и к северо-востоку от пос. Берг-Дар (2).

Свинец

Бергварасульский рудопроизводительный (3) является комплексным с редкометалльными элементами. Оно расположено на правом берегу ручья Берг-Кара-Сут, в северо-восточном углу района. Здесь протолоочки кильцов эффузивов Кызылдукской серии дорва установлены единичные знаки галенита, молибденита и кинивари. Кроме того, минералы оцинца (перуссит) встречаются в ряде участков р. Тыгыт-Хыма по данным шихового опробования.

Никель

Повышенные концентрации никеля (до 1,0%) по данным спектрального анализа отмечены в двух точках на хр. Агар-Дар-Тайга среди серпентинитов (40) актоварского и габбро-диоритов (51) тангульского комплекса.

Медно-никелевые

Рудопроизводительные медно-никелевые связаны исключительно с гипербазитами актоварского комплекса. Повышенные концентрации этих элементов по данным спектрального анализа установлены в пределах хр. Агар-Дар-Тайга (17, 19, 25).

Никель-кобальтовые

Рудопроизводительные этих металлов также связаны с серпентинитами актоварского комплекса (23, 41, 48). В отличие от вышесписанных рудопроизводительных цветных металлов вмещающие породы не содержат сульфидов, по-видимому никель и кобальт присутствуют в виде изоморфной примеси в силикатах.

Р е д к и е м е т а л л ы

Молибден, ртуть

Бергварасульский рудопроизводительный (3) находится в северной части района по ручью Берг-Кара-Сут. По данным Д.Н. Шербокова и М.К. Иванова (1959ф) среди раздробленных кильцов эффузивов Кызылдукской серии минералогическими анализами протолочек устанавливаются единичные знаки молибдена, кинивари и

галенита. К дру от этого участка в шиховых пробах из аллювиальных отложений по ручью установлено до 68 знаков киновари, и единичные знаки отмечаются также в руслах р. Тыгыл-Хема ручья Сайтына и в логгах юго-западной оконечности хр. Агар-Дар-Тайга (Меткин, Немцович, 1963ф).

Тангад, ниссий, редкие земли

Кызылдошское рудопроvincia (18) тангада, ниссия и редких земель находится в западной части хр. Агар-Дар-Тайга, в районе г. Агар-Даа. Оно приурочено к дайке окварцованных и эпидотизированных гранит-порфиров, обогащенных гематитом и учасками флюоритом, прорывающих граниты ситхольского комплекса. Дайка прослеживается на протяжении около 2000м, мощность её 0,5-1м. На всём протяжении дайка гранит-порфиров обнаруживает активность 30-130г/т при фоновом значении вмещающих гранитов и диоритов 8-12г/т. По данным химических анализов двух проб минерализованные породы содержат: Nb, Pa, Zr, Yb, U, Th. Минеральная форма редких элементов не установлена.

Редкие земли

Тескөө рудопроvincia (6) расположено в районе г. Тель и приурочено к линзе (1х3м) мусковитосодержащих пегматитов среди биотитовых гранитов ситхольского комплекса. Тамма-активность пегматитов составляет 30-60г/т. Минералогическим анализом пегматитов установлено присутствие активного циркона (14% от веса электромагнитной фракции) и единичных зерен гидроторита. Активный циркон содержится в количестве 750г/м³ породы, образует призматические и дипирамидальные кристаллы темного бурого цвета размером 0,3-0,7мм. Гидроторит встречается в виде обильных кристаллов бледно-желтого цвета, а также в виде сростков с активным цирконом.

Единичные знаки активного циркона, наряду с монацитом, кобальтом, активным рутилом, активным сфеном и цирколитом, нередко устанавливаются в различных глинах рыхлых отложений района.

В пределах района известен ряд россыпных проявлений циркона, присутствующего в том или ином количестве во всех глинах рыхлых кайнозойских отложений совместно с ильменитом, магнетитом и другими минералами. Циркон представлен мелкими (0,05-0,2мм) бесцветными, реже красноватыми зёрнами от редких знаков до 100% немагнитной фракции. Максимальные концентрации циркона установлены для элю-

виальных и озёрных отложений, развитых к северу и северо-западу от оз. Тера-Холь (55). Содержание циркона здесь колеблется от сотен г/м³ до 4,6 кг/м³, ильменита - до 1кг/м³, магнетита - до 20кг/м³, до 40г/м³ устанавливаются лейкоген и до 200г/м³ - рутил. В озёрах, аллювиальных и озёрных отложениях содержание циркона, согласно результатам опробования шурфов, не превышает сотен г/м³. (Меткин, Немцович, 1963ф). Вместе с тем, по данным работ Д.Я. Айз-дерзяева (1960ф), содержание циркона в озёрах песках достигает 3,6кг/т (среднее содержание 0,5-0,6кг/т), в аллювии р. Тес-Хема - до 1кг/т (среднее 0,6кг/т), в аллювии р. Тес-Хема - до 1,4кг/т (среднее 0,45кг/т). Подобные расхождения, возможно, связаны с различиями в методике отбора и обработки проб и требуют проверки. Источником накопления циркона в рыхлых кайнозойских отложениях служат, главным образом, гранитоиды ситхольского интрузивного комплекса.

НЕМАТАЛИЧЕСКИЕ ИСКОПАЕМЫЕ

Керамическое сырьё

Андалузит, диспан

С метаморфическими породами мугурской свиты связаны два проявления высокоглинозёмистых сланцев в районе гор Хандагар: Сая-верочайское (53) и Южночайское (54). По площади эти проявления примерно равнозначны. В условиях плохой обнаженности горными выработками здесь вскрыто несколько пластов кордиерит-диспановых и кордиерит-андалузитовых сланцев мощностью 1-2м, залегающих среди биотитовых и биоксит-еждоболовых гнейсов и кристаллических сланцев, прорванных трещинами ситхольского комплекса. Сланцы содержат от 10 до 70% андалузита и замещающего его диспана, которые присутствуют совместно с кордиеритом, силицианитом, магнетитом, ильменитом, шпинелью, апатитом, цирконом и др. Диспан и андалузит образуют зёрна размером 0,5-3,0мм, содержащие включения мусковита и биотита. По данным химических анализов двух бороздовых проб, высокоглинозёмистые сланцы содержат (в %): окиси кремния - 57,2 и 59,12; окиси и закиси железа - 9,77 и 9,39; окиси алюминия - 28,80 и 22,77 и др. Выявленные рудопоявления из-за малых размеров тел не представляет промышленного интереса.

П р о ч и в н ы е т а л ы и ч е с к и е и с к о л а е м ы е

Асбест хризотилловый

На площади листа известно несколько проявлений асбеста, связанных с ультраосновными породами актобарского комплекса. Наиболее значительные проявления выделены в пределах Агардагского гиперазигитового массива. Проявления асбеста тяготеют к прослаженным в северо-восточном направлении дизъюнктивным нарушениям, по которым гиперазигиты прорваны мелкими телами таборродов, гранитов тангульского и сержольского комплексов и различными по составу дайковыми породами: таборо-диабазами, диабазовыми и диоритовыми порфиритами, лампрофирами.

И р о я в л е н и е А х и р у л а с к о в е I (34) расположено в 2,8 км юго-восточнее высоты 1494 на хр. Агар-Дат-Тайга. Зона асбестизации прослежена в северо-восточном направлении на расстоянии 250 м при мощности не менее 10 м. Серпентиниты и серпентинизированные перидотиты содержат прожилки хризотил-асбеста мелкопрожилчатого типа, сменяющегося на юго-восточном оконечании зоной асбестизации сетчатого типа. По определению линейным методом содержания хризотил-асбеста в зоне мелкопрожилчатого коллоиды от I до 5% при средней длине волокон 0,5-2 м (реже до 5 м), в зоне сетчатых руд содержание асбеста составляет 3-5 местами до 10%, при длине волокон 5-12 м. Асбест полерачноволокнистый, медово- и заляновато-желтый, легко распушается. По длине волокон асбест может быть отнесен к 3, 4, 5 и 6 сортам.

И р о я в л е н и е А х и р у л а с к о в е II (36) находится в 2 км восточнее первого и представлено асбестом зоной протянувшейся в северо-восточном направлении на расстоянии 300 м, шириной 30-50 м. Преобладает мелкопрожилчатый тип асбестизации с содержанием хризотил-асбеста 1-10% с длиной волокон 1 м, реже до 3-5 м, в центральной части участка на площади 10х50 м среди серпентинизированных перидотитов отмечен сетчатый тип хризотил-асбеста с длиной волокон 1-10 м при содержании 5-15%.

Кроме описанных выше проявлений в районе известны более мелкие проявления асбеста (10, 11, 29, 39), представляющие зоны мелкопрожилчатого типа. Мощность жил обычно 1-3 (реже до 10 м), содержание асбеста не превышает 1%.

В северо-восточной части Агардагского массива в районе г. Ахир-Ула, среди рассланцованных серпентинитов отмечены жилы продольно-

волокнистого асбеста (27). Мощность жил здесь равна 5-30 см, длина 2-3 м, длина волокон до 30 см, содержание асбеста в породе 5-10%. Наличие многочисленных проявлений хризотил-асбеста, значительные разрывы некоторых из них, наряду с благоприятной геологической обстановкой (широкое развитие тектонических нарушений и приуроченных к ним гранитоидных пород, наличие серпентинизированных перидотитов, к которым обычно приурочены промышленные месторождения хризотил-асбеста), позволяют положительно оценивать перспективы асбестоносности района и рекомендовать проведение детальных поисковых работ на площади Агардагского массива.

Тальк

А г а р д а т с к о в е П р о я в л е н и е (35) талька и талькового камня расположено в центральной части Агардагского гиперазигитового массива и приурочено к дизъюнктивному нарушению северо-восточного направления, сопровождающемуся мелкими штокообразными интрузивными основными и кислого состава. С гидротермальным воздействием последних, вероятно, связано оталькование ультраосновных пород. Зона оталькования прослежена на протяжении около 2 км, ширина зоны от 3 до 10 м. В пределах этой зоны встречаются как почти мономинаральные тальковые породы (талькиты), так и талькосоудающиеся породы - тальковый камень. Переходы между этими породами постепенные. Талькиты содержат тальк в виде мелких чешуек размером 0,2-1,0 м и в качестве примесей карбонат, серпентин, хромит, магнетит. Тальковый камень принадлежит к тальково-карбонатному типу. Тальк присутствует обычно в количестве до 35-40% в виде чешуек размером 0,05-0,2 м. Преобладающим минералом породы является карбонат магнетит-бразилеритового ряда. Умичивский состав и другие качественные показатели талька и тальковых пород не изучены. По предварительным данным Агардагское проявление талька может иметь промышленное значение.

Графит

В пределах изученного района известен ряд месторождений и проявлений графита метаморфогенного типа.

Б о р а т а й с к о в е П р о я в л е н и е (46) расположено к югу от оз. Шарв-Нур, в районе высоты 970. В пределах месторождения среди подвсплывших равнинных четвертичных отложений на площади 0,2 км² развиваются тогда

кварцитов верхнепротерозойской мугурской свиты, содержащая горизонты графитовых сланцев и линзы мраморизованных известняков. По-роны слаты в сложную систему узких, местами опрокинутых складок. Вскрыто три горизонта графитовых сланцев, мощность от 5 до 12м, хорошо выдержанных на площади участка Бора-Тей, а также графитоо-держашие кварциты, занимающие около 20% общей площади участка. Графитовые сланцы содержат мелкозернистый графит в количестве 10-30, местами до 60% и в качестве второстепенных минералов: кварц, плаггиоклаз, мусковит, ополит, гранат, пирит, рутил. Чешуйки графита, размером 0,01-2мм довольно равномерно рассеяны в породе, иногда образуя тенденцией к обособлению в прослойки.

Графитосодержащие кварциты содержат в среднем 3-5% мелкозернистого графита. Присутствуют графит в виде паучек, переслаивающихся со светло-серыми кварцитами.

По предварительным геологическим данным ориентировочные запасы графита участка Бора-Тей оцениваются в 500-800тис.т., что соответствует мелкому месторождению.

Графитосодержащие сланцы и кварциты, сходные по особенностям состава и условиям залегания с графитосодержащими породами участка Бора-Тей, выявлены к северу от хр. Ныллыт (52), где графитоносные паучки пород развиты на значительно большей площади в сравнении с участком Бора-Тей.

В районе тор Кулдут-Шат (50) встречены углисто-графитовые сланцы, залегающие в виде прослоев мощностью 2-3м среди паучки переслаивания мраморов и кварцитов (нередко графитосодержащих) мугурской свиты. Углисто-графитовые сланцы содержат около 25% углисто-графитового вещества, присутствующего в виде неиндивидуализированных скоплений в сростанных с мусковитом. Реже отмечаются мелкие самостоятельные (до 0,1мм по длинной оси) чешуйки графита, переходящие к прослоям, содержащим новообразованный кварца.

В пределах хр. Алар-Дат-Тайга в толще пород кукукутской толщи встречено небольшое проявление графита (20), представляющее линзовидные обособленные углисто-графитовых сланцев, залегающих в виде линзы 1х3м среди горизонты мраморизованных известняков. Углисто-графитовые сланцы сильно паучатся и содержат около 50% скрыто-кристаллического равномерно рассеянного графита.

СОЛИ

Поваренная соль, калийные соли, Бораты

В районе известно разрабатываемое в настоящее время Д у с - х о д ь с к о в е м в е с т о р о ж д е н и е (16) поваренной соли,

Ш а р а н у р с к о в е п р о я в л е н и е (44) калийных солей и Д у с х о д ь с к о в е п р о я в л е н и е (15) боратов и калийных солей.

Озеро Дус-Холь расположено в центральной части района. Площадь озера 0,34км², глубина 0,3-0,5м. Вода сульфатно-хлоридная, содержание ионов натрия и калия составляет 84г/л, ионов магния - 18г/л, общая минерализация - 331,8г/л, рн раствора - 6,81. По данным О.И. Гирфановой (1960г) в соляном растворе содержится бром в количестве 0,428г/л и НВО₃ - 0,077г/л. Содержание ионов калия составляет 1,87г/л, что близко к промышленному содержанию калия в солях. Отложения оз. Дус-Холь представлены глинами с тонкими прослойками песков и солей мощностью 5-10см. Местами в глинах встречаются друзы и отдельные кристаллы мирабилита, глауберита, гипса. По данным Д.Я. Аяздардзиса (1960г) соли и засоленные глины содержат лития - 0,03; бора - 0,01-0,03; циркония - 0,1-0,3; бериллия - 0,003; титана - 0,3; железа - до 1% (результаты спектральных анализов). Расходы озера используются для промышленной добычи поваренной соли, получаемой путем естественной выпарки рассола.

Озеро Шара-Нур расположено в южной части района, площадь его около 5км², средняя глубина около 3м. Вода сульфатно-хлоридная с содержанием ионов натрия и калия - 17,0г/л; магния - 0,5г/л; общая минерализация раствора - 46,9г/л, рн раствора - 8,1.

СТРОИТЕЛЬНЫЕ МАТЕРИАЛЫ

К а р б о н а т н ы е п о р о д ы

Известняки

С а м а т а д а т а й с к о в е м в е с т о р о ж д е н и е (12), разведенное Е.И. Пирумовым (1960г). Оно располагается в 15км ю.-в. от пос. Саматагала, по левому борту долины ручья Теректыл-Сайыр. По данным химических анализов, известняки содержат (в %): окиси железа - 0,92; окиси магния - 0,44; окиси кальция - 54,4; окиси кремния - 0,36; окиси алюминия - 0,25; летучих - 44,1. Совершенно выходя А.Е. Первахинной и Н.Я. Дробининой (1955) наиболее чистые разности известняков могут рассматриваться как первосортные флюсовое сырье, мраморы, загрязненные примесью, являются некондиционными. Запасы чистых известняков оцениваются Е.И. Пирумовым (1960г) по категориям: А₂ - 93,9тис.т., В - 176,6тис.т., С - 51,75тис.т.

Линии глин в породе

Линии кирпичные

Выходы глины и суглинков неогенового возраста известны по правому борту долины р. Ужарлыт-Хэма - у жарлыт-Хэма и на ю.-в. склоне хр. Атар-Дат-Тай-та - Шаранурское месторождение (22). По данным Б.И. Пирумова (1960ф) результаты химических анализов и каталитических исследований показали пригодность глины и суглинков для производства кирпича. В настоящее время месторождения эксплуатируются местной промышленностью.

Источники

Источники пресных вод

В безводной левобережной части р. Тес-Хэма известно четыре источника пресных вод (14, 43, 45, 47), расположенных у озера Дуэ-Холь, Шара-Нур и в Чагай-Сумона. Источники Дуэ-Хольские (14), Шаранурские - Шаранурские (43) и Чагайские (47) представляют собой колодези глубиной около 2 м. Зеркало воды лежит на глубине 0,5-0,8 м. Вода мутная, с запахом запахом, в засушливый период солоноватая. Дебит источников около 0,2-0,5 л/сек. Шаранурские и Дуэ-Хольские (45) пресных вод расположены на южном берегу оз. Шара-Нур. Здесь скважиной вскрыты подземные напорные воды. Глубина залегания последних около 150 м. Дебит источника около 1 м/сек. Воды пресные гидрокарбонатно-кальциевые с минерализацией 0,3 г/л. Температура воды 12°C.

ПОДЗЕМНЫЕ ВОДЫ

На территории листа М-46-ХVII намечаются два типа грунтовых вод, приуроченных: 1) к рыхлым отложениям и 2) к коренным породам. Поверхностные воды района представлены в основном речными, а также солеными озерными водами.

Грунтовые воды рыхлых отложений по условиям формирования, залегания и циркуляции относятся к поровым и залегают в золонках, проливиальных и альвиальных отложениях. По составу это песчаногравийные и супесчаные разноминеральности, содержащие иногда прослойки и линзы суглинков. Глубина залегания поровых вод колеблется от 3,2 до 50-60 м.

Воды этого типа были встречены рядом буровых скважин и колодезей по южному берегу р. Тес-Хэма.

Минерализация вод четвертичных отложений обычно невелика, в них преобладают пресные (с минерализацией 0,3-0,98 г/л) гидрокарбонатно-кальциевые воды. Но в ряде мест встречены солоноватые воды весьма жесткого состава, залегающие ниже минерализованных вод. Дебиты источников обычно малы и выражаются десятками и сотнями долями литра в секунду, нередко повышается до 0,5-1,1 л/сек.

Грунтовые воды коренных пород по условиям залегания, формирования и циркуляции относятся к трещинным. Наиболее благоприятные условия для аккумуляции естественных запасов подземных вод имеют граниты, различные метаморфизованные сланцы, эффузивные и ультраосновные породы. Граниты развиты многочисленными трещинами вывертывания и отдаленности шириной до 5 мм, нередко заиленными. В погоне естественных запасов подземных вод трещинного типа роль непосредственной инфильтрации атмосферных осадков невелика, так как количество осадков не превышает 100-150 мм/год. Поэтому наиболее значительное значение в питании вод этого типа приобретает подземный подток, направленный со стороны реки Тес-Хэма и озера Тара-Холь. Следовательно, уровень залегания трещинных вод повсеместно должен быть ниже отметок уреза воды оз. Тара-Холь и р. Тес-Хэма. Скважины, пробуренные в Шара-Нурской и Тара-Хольской степях, вскрыли подземные воды на глубине 45,8 м от поверхности и глубиной. Наряду с безнапорными трещинными водами распространены и трещинно-напорные воды. Величина напора составляет от 3,6 до 40,0 м, глубина установившегося уровня колеблется от 13,2 до 42,0 м от дневной поверхности.

Водообильность трещинчатых пород невелика. Имеются данные о дебитных скважин впаде подтверждают это положение. Дебит скважин, вскрывших воды кристаллического фундамента, обычно составляет от 0,04 л/сек и лишь в отдельных случаях доходит до 0,78 л/сек. Для всех вод характерна небольшая минерализация (0,7 г/л) гидрокарбонатно-кальциевый состав. Температура воды на глубине 45 м весьма низкая - 3°C.

Речные поверхностные воды являются основным источником водоснабжения в районе. Река Тес-Хэма играет большую роль в общем балансе питания подземных вод левобережной части. Дебит реки постепенно падает вниз по течению. Воды р. Тес-Хэма и ее притоков имеют, как правило, слабую минерализацию (0,1-0,6 г/л) и гидрокарбонатно-кальциевый, реже хлоридно-магнийный и хлоридно-натриевый состав.

Река Нарин-Тол протекает в золонках отложениях. Ширина реки

8-10м, глубине до 1м. Воды пресные, гидрокарбонатно-магниево-минерализацией 0,4г/л.

На территории описываемого района расположено два соленых озера: Дус-Холь и Шара-Нур.

Воды оз. Шара-Нур по степени минерализации, по составу имеют неоднородный характер. В периферийных частях - на северо-востоке и юго-западе озера воды пресные, гидрокарбонатно-натриевые с минерализацией соответственно 0,37-0,96г/л. В центральной части озера воды высокой солености, приближаются к рассолам. Состав их меняется на сульфатно-натриевый в приповерхностных горизонтах и хлоридно-натриевый на глубине. Минерализация соответственно 30,17г/л и 46,9г/л. Вода прозрачная, бесцветная, с землистым запахом, горькосоленая. Упрощенная озерная периферия происходит за счет притока в него пресных вод подземных источников.

Воды оз. Дус-Холь представляют собой крапчатые рассолы с минерализацией 182,2г/л в приповерхностных водах и 331,4г/л на глубине 0,5м. По составу это хлоридно-натриевые воды с повышенным содержанием бром (0,428г/л), HNO_3 (0,077г/л), калия (0,7-1,87г/л).

Перспективы водоснабжения района следующие. Центральная часть района является практически оазисной. Ряд скважин, пробуренных на глубины 120-134м подземных вод не возрелили. В Терехольской и Шаранурской степях подземные воды трещинного типа можно ожидать на глубине свыше 50м с дебитом менее 1л/сек. В непосредственной близости от оз. Шара-Нур на глубине 150-200м можно ожидать артезианские воды.

ЛИТЕРАТУРА

У П У Б Л И К О В А Н Н А Я

М а н т о в В.А., М а т р о с о в Н.С. Основные черты геотектонического развития и размещения структур Монголии в системах Алтае-Саянской и Монголо-Амурской складчатых областей. Тр. ВСЕГЕИ, нов. сер., т. 58, 1961.

Б л а г о н р а в о в В.А. Об алтаурской и сибирской свитых бассейнов рек Сиситг-Хема, Уэн, Чаваша, Ала-Сута. Материалы по региональной геологии. Тр. ВАГТ, Госгеолтехиздат, вып. 5, 1959.

Д о д и н А.Д., К у д р я в ц е в Г.А. Объяснительная записка к геологической карте Тувинской А.О. масштаба 1:1000 000 ВСЕГЕИ, ВАГТ, Госгеолтехиздат, 1951.

З а и ц е в Н.С. Уплиценовых овидах и молодых движениях в хр. Танну-Ола. ДАН СССР, т. 57, №9, 1947.

И в а н о в Т.Н., П о л я в а я Н.И. О возрасте интрузий таннуольского комплекса (Тувинская А.О.). Информ. сб. ВСЕГЕИ, №3, 1956.

И в а н о в Т.Н., П о л я в а я Н.И. и др. Абсолютный возраст некоторых магматических и метаморфических пород центральной части Алтае-Саянской области. Тр. ВСЕГЕИ, т. 58, 1961.

И л ь и н А.В., М о р а л е в В.М. Объяснительная записка к геологической карте СССР масштаба 1:200 000 листов М-46-ХУШ и М-46-ХХIV, Госгеолтехиздат, 1957.

К у з н е ц о в В.А. Геологическое исследование центральной части Тувы и хр. Восточного Танну-Ола. ГУГФ, 1946.

К у з н е ц о в В.А. Геотектоническое районирование Алтае-Саянской области. Вопросы геологии Азии, т. 1, изд. АН СССР, 1954.

М а х и н Г.В. Докембрийская трансформация интрузив в Восточной Туве. Материалы по региональной геологии. Тр. ВАГТ, вып. 2. Госгеолтехиздат, 1956.

М о м д ж и Г.С. Методика минералогического анализа титаноносных песков Зауралья. Разведка и охрана недр, № 6, 1958.

Перваякина А.Е., Дробинина Н.Я. Карбонатные породы Тувинской А.О. Тр. Тувинской комплексной экспедиции СОПС АН СССР, вып. I, 1955.

Пинус Г.В., Кузнецов В.А., Волохов И.М. Гиперазиты Тувы. Тр. Тувинской комплексной экспедиции СОПС АН СССР, вып. 2, 1955.

Пинус Г.В. Тяньгуольский интрузивный комплекс (Тува). Тр. ин-та Геологии и Геофизики СО АН СССР, вып. 6, 1961.

Покровская Н.В. Трилобитовая фауна и стратиграфия кембрийских отложений Тувы. Тр. Геол. ин-та АН СССР, вып. 27, 1959.

Шоргина Л.Д. Стратиграфия кайнозойских отложений Западной Тувы. Тр. Геол. ин-та АН СССР, вып. 26, 1960.

Фондовая х/

Андердзис Д.Я. Отчет о результатах работ по разведке рыхлых отложений лавобережья р. Тес-Хэм на редкометалльные минералы за 1959г. 1960.

Балдостюк И.И., Архангельская В.В. Геологическое строение района верховий р. Кав-Хэм (Мал. Енисей) Тувинской А.О. 1948.

Богомлов В.Г., Немцович В.М. Промежуточный отчет Вихимской партии за 1958г. по подгруппе "Стратиграфия, магнетизм и тектоника восточной части Центральной Тувы", 1959.

Божинский А.П. Геологический отчет о геолого-поисковых работах в Эмисском и Нарынском золотоносных районах в Тувинской А.О. в 1944-1945гг. 1945.

Гирфанова О.М. Подземные воды Тувы (окончательный отчет гидрогеологического отряда по работам 1955-1959гг) 1960.

Глазов М.И. Отчет о гидрогеологических работах, произведенных в связи с обводнением пастбищ и целинных земель Тувинской А.О. (Районы Тес-Хемский и Эрзинский) 1954.

Ильин А.В., Мордлев В.М. Геологическое строение и полезные ископаемые бассейнов правобережья рек Эрин, Шурмак, Бурэн (часть трассы М-46-ХУШ), ВТФ, 1954.

х/ Работы, для которых не указано место хранения, находятся в геологических фондах КГТУ.

Левенко А.И., Мускиенко З.В. Геологическое строение кло-востока Тувы. 1947.

Лукашев Г.Н., Меткин В.А. Геологическое строение и полезные ископаемые листа М-46-ХI (Вай-Хак), 1961.

Меткин В.А., Немцович В.М. Геологическое строение и полезные ископаемые листа М-46-ХУП, 1962.

101

Приложение 1

СПИСОК МАТЕРИАЛОВ, ИСПОЛЬЗОВАННЫХ ДЛЯ СОСТАВЛЕНИЯ КАРТЫ ПОЛЕЗНЫХ ИСКОПАЕМЫХ

№ п/п	Фамилия и инициалы автора	Название работы	Год составления или издания	Место нахождения материала
1	Андердзис Д.Я.	Отчет о результатах работ по разведке рыхлых отложений в восточной части д. Тас-Хам на редкометалльные минералы за 1959г.	1960	Фонды КГТУ
2	Гирфанова О.М.	Подземные воды Тувы (окончательный отчет гидрогеологического отдела по работам 1955-1959гг.)	1960	Там же
3	Меткин В.А., Немцович В.М.	Геологическое строение и полезные ископаемые листа М-46-ХУП	1962	"
4	Меткин В.А., Немцович В.М.	Геологическое строение и полезные ископаемые листа М-46-ХУП	1963	"
5	Пирумов Е.И.	Отчет о работах Угур-Хамской партии по поискам и разведке строительных материалов в Тувинской А.О. в 1959г.	1960	"
6	Щербяков Л.Н., Иванов М.К.	Геологическое строение и полезные ископаемые района сопредельных хребтов Восточный Танну-Ола с нагорьем Сангилан	1959	"

Приложение 2

СПИСОК ПРОМЫШЛЕННЫХ МЕСТОРОЖДЕНИЙ ПОЛЕЗНЫХ ИСКОПАЕМЫХ, ПОКАЗАННЫХ НА ЛИСТЕ М-46-ХУП КАРТЫ ПОЛЕЗНЫХ ИСКОПАЕМЫХ
МАСШТАБ 1:200 000

№ по картам	Индекс клетки на карте	Наименование месторождения и тип полезного ископаемого	Состояние эксплуатации	Тип месторождения (К-коренное)	№ использованного материала по списку
СТРОИТЕЛЬНЫЕ МАТЕРИАЛЫ					
К а р т о н а т н ы е п о р о д ы					
Известняки					
12	II-4	Самгалтайское	Не эксплуатируется	К	5
Г л и н и с т ы е п о р о д ы					
4	I-4	Ужарлыгхамское	Эксплуатируется	К	5
22	III-2	Шарануское	"	К	3
СОЛИ					
Поваренная соль					
16	II-4	Духольское	Эксплуатируется	Рассол	2

СПИСОК НЕПРОМЫШЛЕННЫХ МЕСТОРОЖДЕНИЙ ПОЛЕЗНЫХ ИСКОПАЕМЫХ, ПОКАЗАННЫХ НА ЛИСТЕ М-46-ХУП КАРТЫ ПОЛЕЗНЫХ ИСКОПАЕМЫХ МАСШТАБА 1:200 000

№ по картам	Индекс клетки на карте	Наименование месторождений и вид полезнаго ископаемого	Состояние эксплуатации	Тип месторождения (к-коренное)	Использованного материала по списку
46	Ш-3	Колу от озера Шара-Нур	Не эксплуатируется	К	4

СПИСОК ПРОЯВЛЕННИЙ ПОЛЕЗНЫХ ИСКОПАЕМЫХ, ПОКАЗАННЫХ НА ЛИСТЕ М-46-ХУП КАРТЫ ПОЛЕЗНЫХ ИСКОПАЕМЫХ МАСШТАБА 1:200 000

№ по картам	Индекс клетки на карте	Название(местонахождение) проявлений и вид полезнаго ископаемого	Характеристика проявления	Использованного материала по списку
1	2	3	4	5
9	П-3	Занадно-Карашатское, 5,6км к западу от горы Кара-Шат	Эпидот-гранат-магнетитовые окарны (магнетита 40-60%)	3
7	П-3	Кжно-Тельское I, I,5км в.-с.-в. в.с. I024	Кварц-гематитовые прожилки мощностью 3-4см в гранитах	3
8	П-3	Кжно-Тельское, 2,5км в.-с.-в. в.с. I024	То же	4
13	П-4	Кжно-Карашатское, 7км к Д-3 от г. Кара-Шат	Гематитовые и кварц-гематитовые прожилки в оркочированных гранодиоритах орхольского комплекса	4
42	Ш-3	Куйлугатское, I,8км в.-3. в.с. I158	Делвиальные обломки гематит-лимонитовых руд	3
49	Ш-4	Северо-Куйлугатское, 6,3км в.-3. оз. Дус-Холь	Эпидиальные обломки гематит-окислов железа	3

1	2	3	4	5
I	2	3	4	5
I	I-3	Литан Р.Хырадылг-Хэм	Орлоны расовяниин В алтвийи р. Хырадылг-Хэм содержание ильменита - от 1,5 до 75кг/м ³ , магнетит- та - до 95кг/м ³	4
5	II-2	Ур. Борзэ	В золотых песках содер- жание ильменита - от 1,2 до 96,5кг/м ³ , магнетита - от 5 до 270кг/м ³ , цир- кона - до 750кг/м ³	4
55	IY-4	Северная оз. Тере- Холь	В террасовых отложениях озера содержание ильме- нита - до 14кг/м ³ , цир- кона - 1,6-4,5кг/м ³ , маг- нетита - до 18кг/м ³	4
32	III-3	Хр. Агар-Далг-Тайга, 2км ю.-з. выс. 1494	Хром Элювиальные оломки сер- пентинитов с вкраплен- ностями хромита	4
37	III-3	Хр. Агар-Далг-Тайга, 3км ю.-з. выс. 1494	Вкрапленность и прожилки хромита в гиперобазитах	4
38	III-3	Хр. Агар-Далг-Тайга, выс. 1304	Линзы и жилы вкрапленных и густовкрапленных хроми- товых руд в дунитах	4
26	III-3	Хр. Агар-Далг-Тайга, 1,6км ю.-в. г. Ахир- Ула	Жилы густовкрапленных хромитовых руд и прожил- ки хризотил-асбеста в гиперобазитах	4
28	III-3	Хр. Агар-Далг-Тайга, 2,6км восточнее выс. 1494	Серпентиниты с вкраплен- ностями хромита	3
30	III-3	Хр. Агар-Далг-Тайга, в 2,5км южнее выс. 1518	Среди серпентинизирован- ных перидотитов 6 жил хромита мощностью 0,5- 1,5м длиной до 25м	3

1	2	3	4	5
1	2	3	4	5
		Ц в о т н ы в м е т а л л ы		
		Мель		
	2	Бердэгасков, 4км с.-в. пос. Берг- Дал	Тuffs с примазками мед- ной зелени	4
	III-3	Хр. Агар-Далг-Тайга, 2км ю.-в. выс. 1494	Убогая вкрапленность халькозина и примазки малахита в дайке вли- тов и вмещающих её сер- пентинитах	4
	III-2	Хр. Агар-Далг-Тайга, 2км южнее г. Кызыл- Ош	Расщепованные эффузи- вы с примазками медной зелени	3
	III-3	Хр. Агар-Далг-Тайга, 2,2км ю.-з. г. Ахир- Ула	Среди гиперобазитов дай- ки лаббро-эффузивитов с вкрапленностью суль- фидов меди и с примаз- ками медной зелени	3
		Никель		
	III-3	Хр. Агар-Далг-Тайга, 3,4км южнее выс. 1494	Серпентиниты с убогой вкрапленностью сульфид- ов	3
	III-4	Восточное, 3,6км ю.-в. выс. 1105	Редкая вкрапленность сульфидов в порфиризи- рованных таборо-диоритах тангульского комплекса	4
		Медно-никелевые		
	III-2	Хр. Агар-Далг-Тайга, 0,3км ю.-з. г. Агар- Дал	Лиственники в зоне разло- ма содержат примазки медной зелени	3

1	2	3	4	5
19	Ш-2	Хр. Агар-Дар-Тайга, 2,8км восточнее г. Кызыл-Ош	Гиперовиты с редкой вкрапленностью рудного минерала	3
25	Ш-3	Хр. Агар-Дар-Тайга, 1,3км южнее г. Ахир-Ула	Серпентиниты с вкрапленностью и тонкими прожилками сульфидов	4
23	Ш-3	Хр. Агар-Дар-Тайга, 3,2км западнее г. Ахир-Ула	Серпентиниты с бедной вкрапленностью хромита	3
41	Ш-3	Хр. Агар-Дар-Тайга, 4км южнее выс.1494	То же	3
48	Ш-4	Перевальные, 7,4км в.-в. оз. Дус-Холь	Гипербазиты без видимой минерализации	3
3	Г-4	Баргжарасульское, правый берег ручья Барг-Кара-Сул	Раздробленные кистые эффузивы содержат единичные знаки молибдена, кинновари, таленита	6
18	Ш-2	Кызылшошское, хр. Агар-Дар-Тайга 2км западнее г. Кызыл-Ош	Дейки измененных гранит-порфиров с повышенной гамма-активностью	3
6	П-3	Тесхемское, 5км в.-в. г. Тель	Редкие земли Линза мусковитсодержащих петлятитов	4

1	2	3	4	5
		НЕМЕТАЛЛУРГИЧЕСКИЕ ИСКОПАЕМЫЕ		
		К е р а м и ч е с к о в с н ы р ь		
		Андагузит, Дистен		
53	Ш-4	Саввочагайское, 5,2км с.-в. от Чагай-Сумона	Бюлитовые гнейсы с со-держанием андалузита до 20-25%	3
54	Ш-4	Жночатайское, 4,4км с.-в. Чагай-Сумона	Средне биотитовых гнейсов пласты I-2м высокоглинозелистых сланцев с 10-70% андалузита и дистена	3
		П р о ч и е н е м е т а л л у р г и ч е с к и е и с к о п а е м ы е		
		Асбест хризотилевый		
10	П-4	Карашаяское, 1,6км к ю.-в. от г. Кара-Шап	Серпентинизированные пегматиты с прожилками I-3мм попережно-волонистого хризотил-асбеста	3
11	П-4	Тесхемское, правый берег р. Тес-Хэм в 2,6км севернее г. Хайракан	Серпентиниты с прожилками хризотил-асбеста мощностью до 3мм	3
39	Ш-3	Агардагское, 2,5км в.-в. г. Агар-Дага	Серпентиниты с зонами мелкочастица хризотил-асбеста. Мощность прожилков 0,5-1мм	3
27	Ш-3	Ахирдагское IV, 2,3км восточнее г. Ахир-Ула	Зона мощностью 50м содержит прожилки до 1см попережно-волонистого хризотил-асбеста	4

1	2	3	4	5
29	Ш-3	Ахирудаское П, 3,4км ю.-в. г.Ахир-Ула	Серпентиниты с прожилка-ми хризотил-вобесста мощностью до 9м	4
31	Ш-3	Ахирудаское У, 2,4км ю.-в. г.Ахир-Ула	Серпентинизированные пидолиты содержат редкую сеть прожилков попарач-но-волокнистого хризотил-вобесста мощностью 1-2мм (мелкопрожил)	4
34	Ш-3	Ахирудаское I, 2,2км ю.-в. выс. 1494	Зона серпентинизированных перидолитов с прожилками хризотил-вобесста мелкопрожиленного и светчатого типов, мощность от 0,5 до 10-12мм	4
36	Ш-3	Ахирудаское Ш, 3,4км ю.-в. г.Ахир-Ула	На площади 30х50м гилер-базиты содержат прожилки хризотил-вобесста мощностью 1-10мм (мелкопро-жиленный и светчатый типы)	4
35	Ш-3	Алардаское	Зона (15х1000м) оталько-ванных пород и талько-тов	4
50	Ш-4	Торн Куилтур-Шат, 3,2км с.-в. выс. 1153	Прошлое мощность 2-3м углисто-графитовых сланцев, содержащие до 50% окрытокристаллического графита	3
52	Ш-4	Хр. Ямылар, 3,5км с.-в. выс. 1284	Углисто-графитовые сланцы содержат около 25% углистого вещества	4

1	2	3	4	5
20	Ш-2	Хр. Алар-Дат-Гайга, 1,6км южнее г. Кы-зыл-Ош	В мраморизованных известняках линза (1х3м) углисто-графитовых сланцев, содержащих до 50% аморфного графита	3
		Калийные соли, бораты		
		СОЛИ		
		Калийные соли, бораты		
		Дусхольское, оз. Дус-Холь	Современные донные осадки содержат сильзин, мидрабит, гипс	2
		Калийная и поваренная соли		
		Шаранурское, оз. Шара-Нур	Слабый рассол содержит соли калия и натрия	3
		ИСТОЧНИКИ		
		Источники пресных вод		
		Дусхольский, с.-в. берег оз. Дус-Холь колодець	Пресные воды, копгваж колодець	2
		Западно-Шаранурские, западные берега оз. Шара-Нур	Пресные воды, источник	3
		Шаранурский, южные берега оз. Шара-Нур. Артезианская скважина	Воды пресные, артезианская скважина дөбит 1,1д/сек	3
		Чагайский, родник в Чагай-Сумоне	Воды пресные, родник с дөбитом около 0,1д/сек	3

СОДЕРЖАНИЕ

	Стр.
Введение.....	3
Стратиграфия.....	5
Интерзвивные образования.....	20
Тектоника.....	31
Геоморфология.....	37
Полезные ископаемые.....	41
Подземные воды.....	52
Литература.....	55
Приложения.....	58

В брошюре пронумеровано 69 стр.

Редактор И.А.Санжара
Технический редактор Е.М.Павлова

Сдано в печать 14/УШ 1973 г. Подписано к печати 17/УШ 1974г.
Тираж 200 экз. формат 60x90/16 Печ.л. 4,5 Заказ 1027с
Центральное специализированное
производственное хозяйственное предприятие
Всероссийского геологического фонда